

Stromrichtersteuerungstechnik

Vorlesungsunterlagen : http://www.eti.kit.edu/studium_srst.php

User : Gate } alles als
Passwort: Treiber } 1 zip - Datei

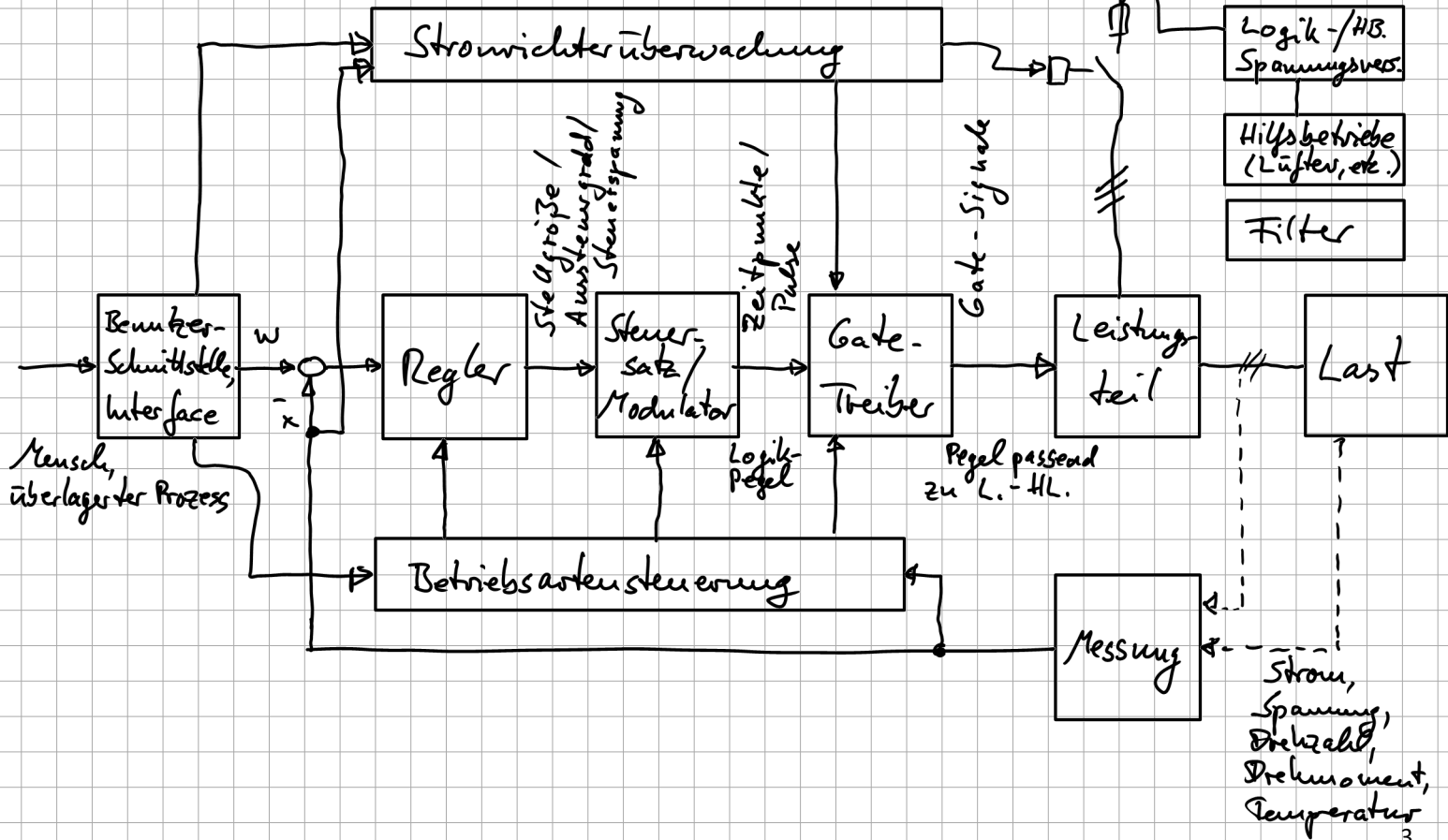
Prüfung : unimodlich , 25 min , Anmeldung bei Fr. Czapnik

Anna Czapnik
Sekretariat Elektrische Antriebe und Leistungselektronik
Raum: 112 im ETI
Tel.: +49 721 608-42472 mail: anna.czapnik@kit.edu

Inhalt

1. Überblick Stromrichterät
2. Messungen / Messeinrichtung
3. Netzgeführte Stromrichter
4. Selbstgeführte Stromrichter
5. Spezialitäten

I. Überblick Stromrichtergerät



I. 1) Interface

→ Schnittstelle Mensch / Prozess - Stromrichter / "Maschine"
↳ HMI = Human Machine Interface

Eingaben:

- direkt (von Hand, Bedienfeld, Bedienterminal, ...)

- indirekt (ferngesteuert, untergelegt)

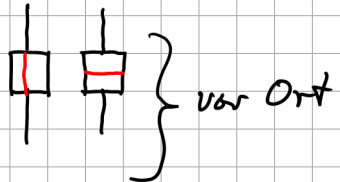
→ Schaltbefehle, Sollwert

- Schalter, Taster, Potis, Tastatur, etc

Ausgaben:

Betriebszustände, Messwerte

- Leuchtmelder (Lämpchen, LEDs), Stellungsmelder



- Anzeigegeräte analog - digital

- analoge, digitale Ausgänge, Feldbus, Kontakte

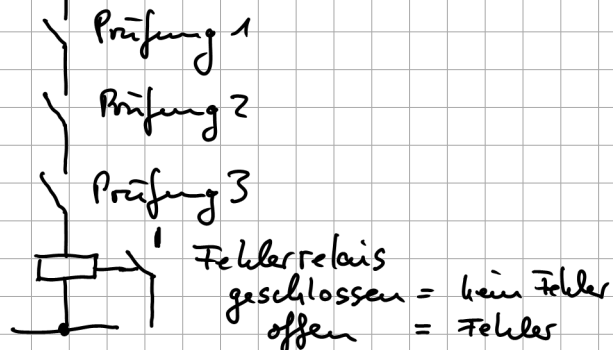
- USB, Ethernet (Webserver in Controllern)

I. 2) Überlagerte Steuerung | Stromrichterüberwachung

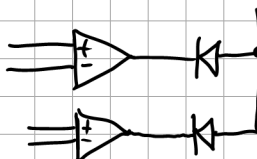
a) Fehlermanagement

Fehlerschleife

Steuerspannung 24 VDC / 230 VAC



mit Komparatoren:

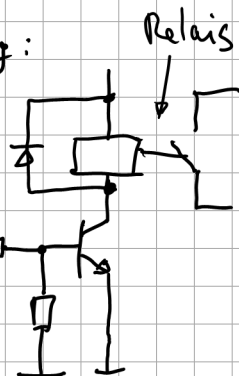


elektronische Lösung:

Autriebsfehler	
Sicherungsfehler	
Überdrehzahl	
Überstrom	
Über Temperatur	
Über Spannung	
Watchdog	

≥ 10

NOR



b) Ein/Aus - Schalter des Stromrichters überwachen / steuern

- Einschaltbedingungen prüfen

Netz prüfen (vorhanden? Frequenz? Phasenlage?)

Hilfsbetriebe bereit?

Messeinrichtungen OK?

- Einschaltreihenfolge einhalten

→ Hilfspannungsversorgung, Hilfsbetriebe / Rechner,

Zwischenkreis vorladen, Pultfreigabe erteilen

- Überwachung im Betrieb

Zustände, Sicherungen, Grenzwerte (Fehlermanagement)

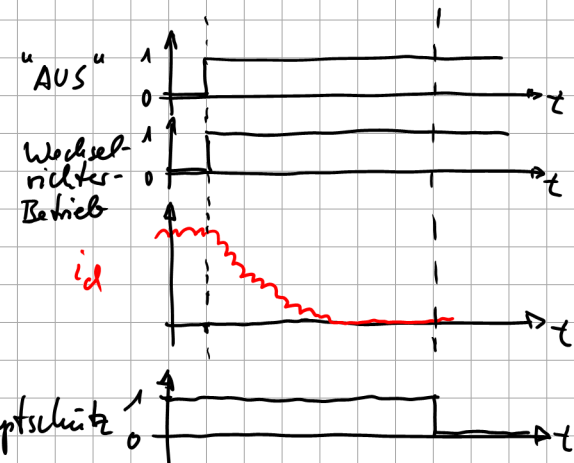
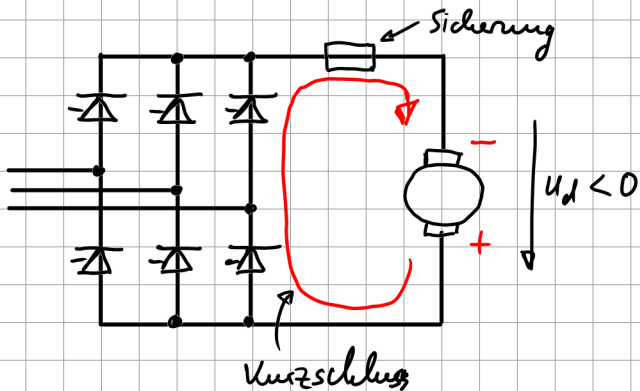
- Ausschaltreihenfolge einhalten

- Leistungsteil ausschalten, Peripherie abschalten, Nachkühlen

- sicheres Stillsetzen der Anlage

- bei NSR (Netzgeführte Stromrichter):

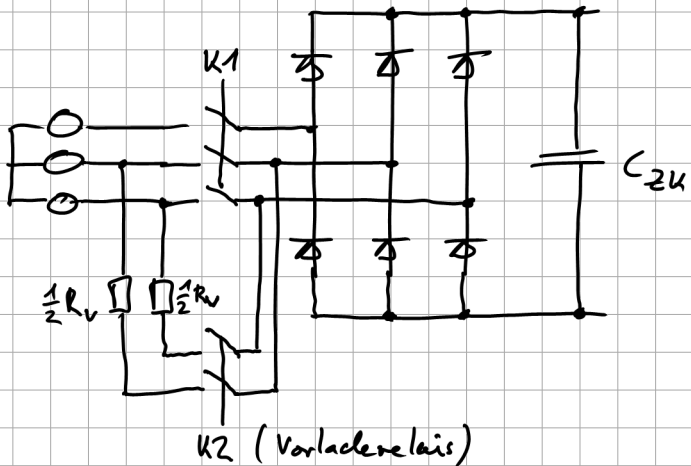
im Rückspeisebetrieb ($\alpha > 90^\circ$) wird bei Wegfall des Netzes die Last kurzgeschlossen
 \Rightarrow erst Abschalten, wenn $I_d = 0$



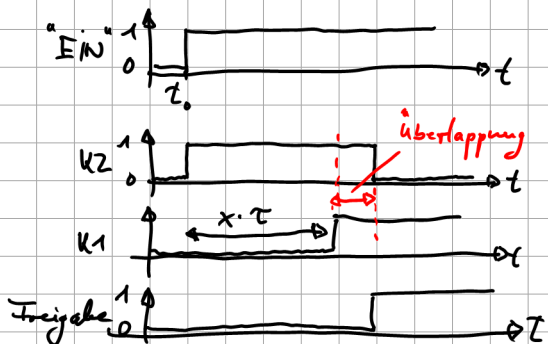
1. Zuerst in den Wechselrichterbetrieb gehen
 \Rightarrow Energie wird aus dem Gleichspannungs-Kreis ins Netz übertragen.
2. Wenn $i_d = 0 \rightarrow$ Netz trennen

\rightarrow Falls das Netz im Fehlerfall ausfällt: Sicherungen

c) Vorladen des Zwischenkreises (ZK)



K_2 (Vorlade-relais)

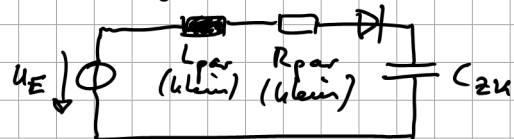


Zeitkonstante τ :
 $\tau = R_i C_{ZK}$
 (PT1 - Glied)

$$\begin{aligned} x = 1 &\rightarrow 63\% \\ x = 3 &\rightarrow 35\% \\ x = 5 &\rightarrow \sim 100\% \end{aligned}$$

hartes Einschalten:

- Kurzschluss zw. Netz und noch leeren C_{ZK}
- Durch parasitäre Induktivitäten (einphäzig):



⇒ "halber Schwingkreis"
 Diode sperrt, sobald $U_{ZK} = 2 \cdot U_E$

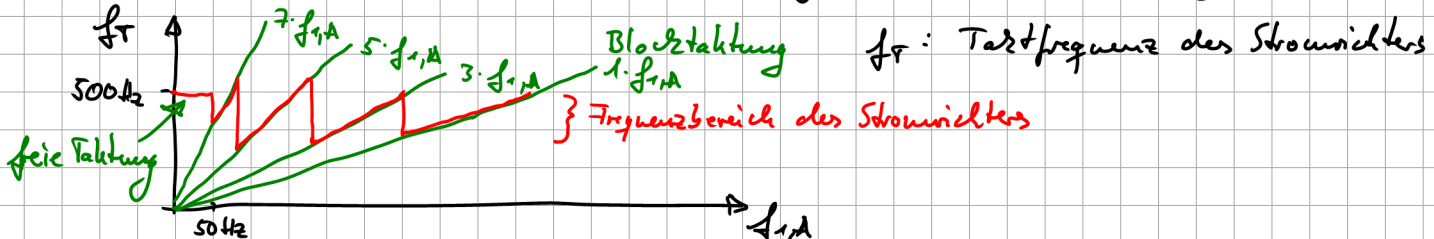
⇒ 1. hoher Einschaltstrom
 2. Spannung bis zu $2 \cdot U_E$ am
 den Halbleitern

⇒ Vorladung des ZK möglich

Alternativ: ZK-Spannung messen

I. 3) Betriebsartensteuerung

- variable Aufgaben (Momentenspeisung, Drehzahlregelung)
- Steuerverfahren ändern (freie Taktung, synchronisierte Taktung, Blocktaktung)



freie Taktung: f_T sollte mind. 10x größer als die Formschwingungsfrequenz des Stromrichter-Ausgangsspannung sein ($f_{1,A}$)



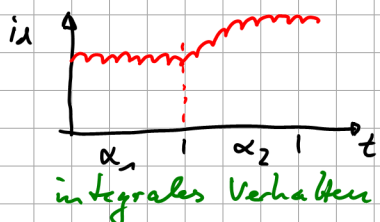
synchronisierte Taktung: $f_T = x \cdot f_{1,A}$ $x \in \mathbb{N}$ meist 3, 5, 7, 9, also ungerade Vielfache

Blocktaktung: $f_T = 1 \cdot f_{1,A}$

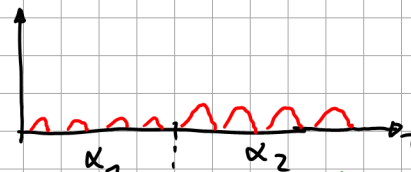


- Taktfrequenz anpassen (z.B. lange Vollaussteuerung beim Anfahren)
- Regelverfahren ändern
 - Parameter ändern (Clip-Tuning, Kundenwünsche einbauen)
 - Reglerstruktur, z.B. aus PI-Regler einen P-Regler machen

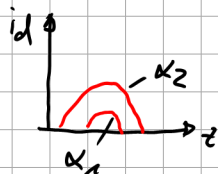
z.B. wenn sich die Strecke während des Betriebs ändert



nicht-liniearer Betrieb



linieender Betrieb



I. 4) Regler

1. Stabilität

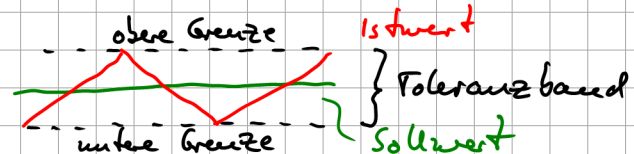
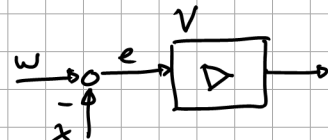
2. genauer Einstellung des Sollwerts (stationäre Genauigkeit)

3. schnelle Einstellung des Sollwerts

widersprüchliche Anforderungen

\Rightarrow Kompromiß

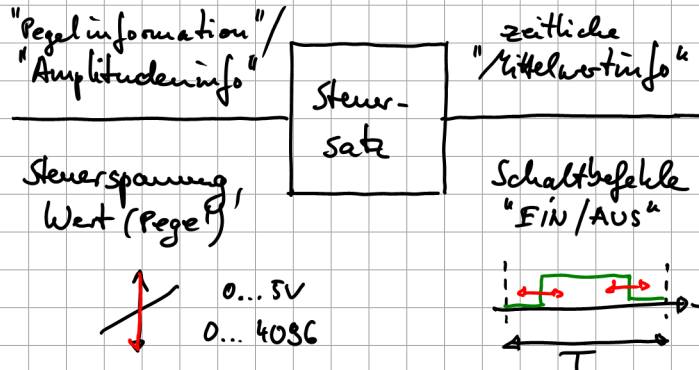
- Soll- Istwert- Vergleich & Reglerverstärker
 - Skalare Regler, lineare Regler, Zweipunktregler, Vektorregler, Kaskadenregler, Zustandsregler, P-, I-, PI-, PID- Regler
 - analoge oder digitale Realisierung
 - Zweipunkt- / Toleranzbandregler :
 - "Nur stationär genau"
 - variable Tastfrequenz je nach Größe des Toleranzbands
 - Ausführungsgröße : Stellgröße analog : Steuerspannung



analog: Steuerspannung

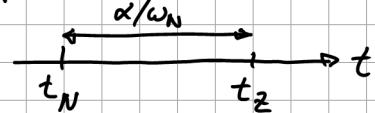
digital: Wert (Zahl), interpretiert als Regel

I. 5) Steuersatz / Modulator



Steuersatz = Modulator

- netzgeführte Stromrichter: Zündwinkel α , natürl. Zündzeitpunkt



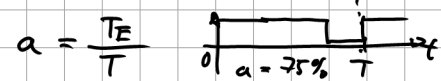
t_n = nat. Zündzeitp.

t_2 = Zündzeitpunkt

$$t_2 - t_N = \frac{\alpha}{\omega_N}$$

- selbstgeführte Stromrichter: freie Wahl der Tastfrequenz $f_T = \frac{1}{T}$

→ Aussteuergrad (Tastverhältnis, "Duty Cycle")



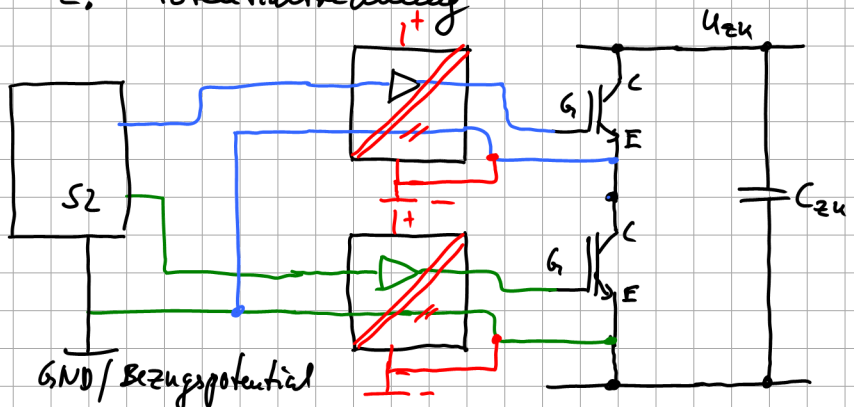
I. 6) Gate-Treiber

1. logisches Signal vom Steuersetz \rightarrow el. Aussteuer-Signal für die Leistungs-Halbleiter

\rightarrow Verstärkung \rightarrow bei Thyristoren: Zündverstärker

Bsp.: 3,3 V-Logik, 20 mA max. \rightarrow 0 / 15V, 9 A peak für Mosfets
 \rightarrow TC4422

2. Potentialtrennung



- Vermeidung von Kurzschlüssen verschiedener Bezugspotentiale
- Sicherheit
- EMV

3. Überwachung / Rückmelchung \rightarrow potentialgetrennt (z.B. Optokoppler)

\hookrightarrow der Leistungs-Halbleiter, z.B. Brückenkurzschluss, Überspannung etc.

I. 7) Messung

- physikalische Größe \rightarrow elektrische Größen
 - \rightarrow logische Größen
- gemessen wird:
 - kritische Größen für Überwachung, z.B. Überstrom
 - "Istwerte" für Regelung, z.B. Mittelwert, Frequenz
- evtl. Potential trennung
- Messbereich
 - Wertebereich (Min - Max) festlegen
 - Skalieren
 - Übersteuerungsbereich vorsehen
 \rightarrow "Überschwingen"
 - Wertebereich ausmisten!
 \rightarrow Genauigkeit

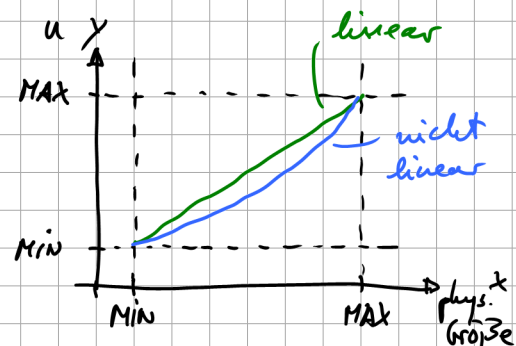


Abbildung: stetig, monoton fallend/
steigend

- proportional: $y = a \cdot x$
- linear: $y = a \cdot x + b$
- funktional: $y = f(\text{phys. Größe})$

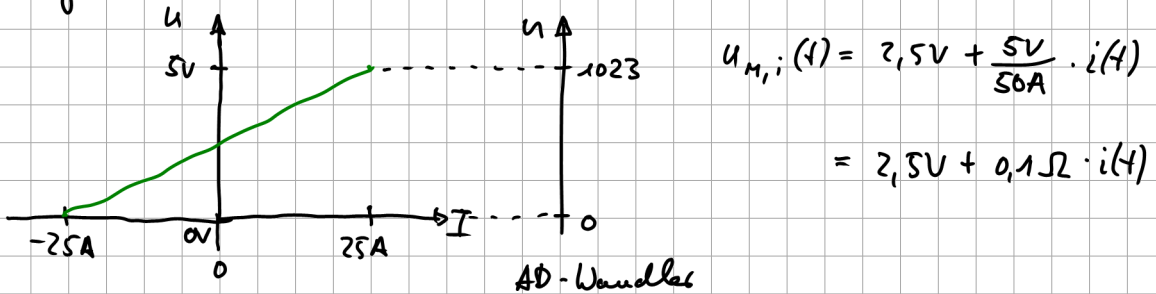
Beispiel: $I_N = 10 \text{ A}$ Stromrichter

$$-\sqrt{2} \cdot I_N < i(t) < \sqrt{2} \cdot I_N \Rightarrow \pm 14 \text{ A}$$

Übersteuerung 60% $\Rightarrow \pm 23 \text{ A} \approx \pm 25 \text{ A}$

A/D-Wandler (10bit) : $0 \dots 5V \rightarrow 0 \dots 1023$

Messumformer : $-25 \dots 25 \text{ A} \rightarrow 0 \dots 5V$



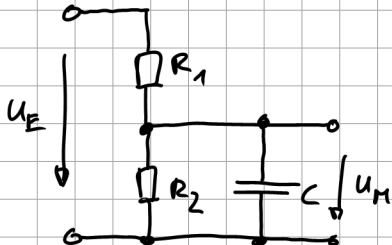
AD-Wandler : $u_{K,i} = u_{M,i} \cdot \frac{1024}{5V} = \frac{1024}{5V} \cdot (2,5V + 0,1\Omega \cdot i(t))$

$$u_{K,i}(t) = 512 + \frac{1024}{50A} \cdot i(t)$$

II. Messeinrichtungen

1) Spannung

a) Spannungsteiler



$$\frac{U_M}{U_E} = \frac{R_2 || C}{R_2 || C + R_1} = \frac{\frac{R_2}{R_1 + R_2}}{1 + j\omega \frac{R_1 R_2 C}{R_1 + R_2}} = \frac{k}{1 + j\omega T}$$

\Rightarrow PT₁-Glied / Tiefpass 1. Ordnung

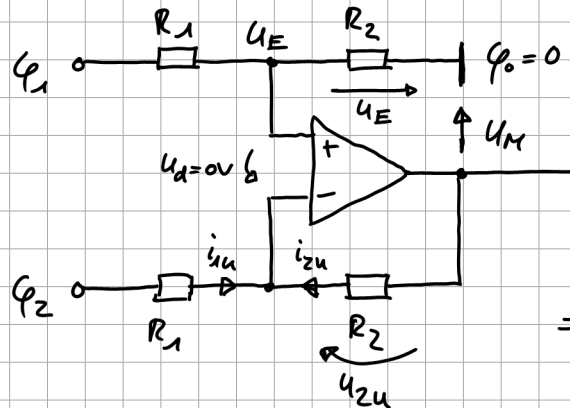
$$K = \frac{R_2}{R_1 + R_2}$$

$$T = \frac{R_1 R_2 C}{R_1 + R_2} \quad \text{für } R_2 \ll R_1 : \quad T \approx R_2 \cdot C \quad \Rightarrow \quad \omega_o = \frac{1}{R_2 C}$$

$$K \approx \frac{R_2}{R_1}$$

- R_1 als Serienschaltung realisieren wg. Sp.-Festigkeit
(1206 S10 - Widerstände: 200 V max.)

b) Subtraktionsverstärker



$$u_E = \frac{R_2}{R_1 + R_2} \cdot q_1 \quad \textcircled{1}$$

$$u_{zu} = u_M - u_E$$

$$i_{zu} + i_{zu} = 0$$

$$\Rightarrow \frac{q_2 - u_E}{R_1} + \frac{u_M - u_E}{R_2} = 0$$

$$\frac{q_2}{R_1} + \frac{u_M}{R_2} = u_E \left(\frac{1}{R_1} + \frac{1}{R_2} \right) = u_E \frac{R_1 + R_2}{R_1 R_2}$$

\textcircled{1}

$$= \cancel{\frac{R_2}{R_1 + R_2}} \cdot q_1 \cdot \cancel{\frac{R_1 + R_2}{R_1 R_2}} = q_1 \cdot \frac{1}{R_1}$$

$$\Rightarrow \underline{\underline{u_M = (q_1 - q_2) \frac{R_2}{R_1}}}$$

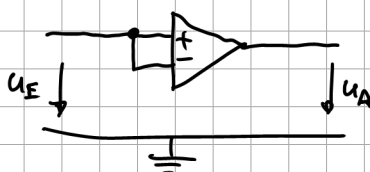
→ quasipotentialfrei (hochohmiger Eingang)

c) Instrumentenverstärker

"Nachteilig" beim Subtrahierverstärker ist die zwar hohe, aber nicht sehr hohe (Gleichaktunterdrückung), bzw. der Eingangswiderstand

\Rightarrow "Subtrahierverstärker mit vorangestellten Impedanzwandler zur Erhöhung der Eingangsimpedanz"
 ↳ Instrumentenverstärker

- sehr hochschwingig
- hohe Gleichaktunterdrückung



$$\text{ideal: } u_A = V_0 \cdot (u_p - u_N) \quad (\text{reine Differenzverstärkung})$$

$$\text{real: } u_A = V_0 \cdot (u_p - u_N) + V_{CM} \cdot \frac{1}{2} (u_p + u_N)$$

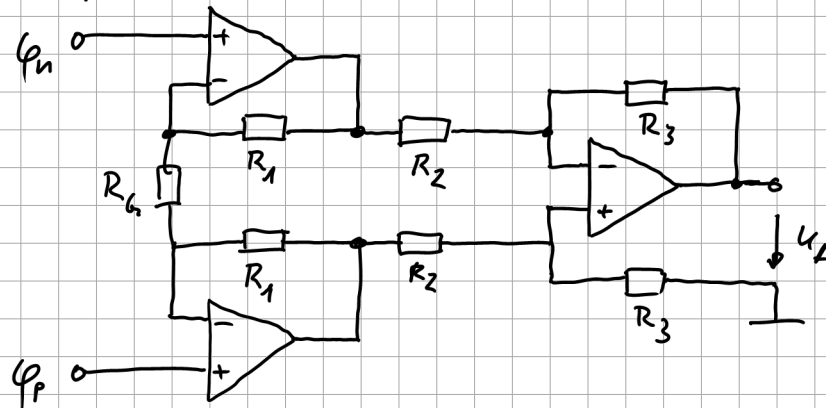
Gleichaktunterdrückung: CMRR

\downarrow
 Common Mode Rejection Ratio

$$(\text{MRR} = 20 \cdot \log \left(\frac{|V_{OL}|}{|V_{CM}|} \right))$$

Gleichaktverstärkung (CM = Common Mode)

Schaltplan:

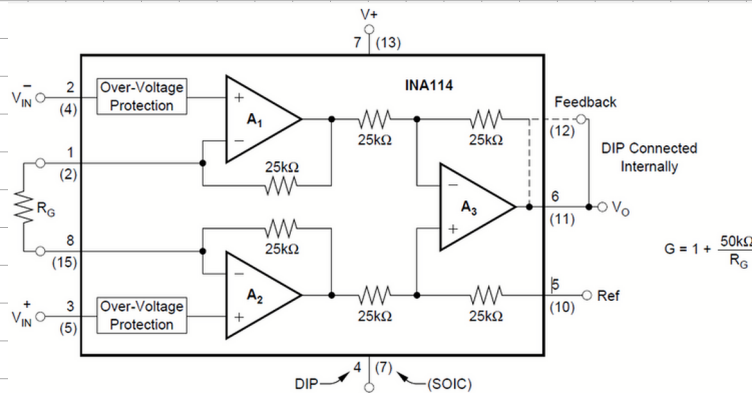


$$u_A = \left(1 + \frac{2 \cdot R_1}{R_G}\right) \cdot \frac{R_3}{R_2} \cdot (u_P - u_N)$$

$$u_D = u_P - u_N$$

$$G = \left(1 + \frac{2 \cdot R_1}{R_G}\right) \cdot \frac{R_3}{R_2}$$

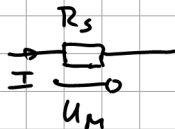
Bsp.: INA114 (T1):



- R_G extern
- oft festes G von 10, 20, 50, 100
- Widerstände im IC
 - lasergetrimmt \rightarrow sehr genau
 - in gl. Gehäuse
 \rightarrow gl. Temperatur
 - in gl. Technologie gefertigt
 \rightarrow gleiche Drift

2) Strom

- Shunt $\hat{=} \text{ Strommesswiderstand}$

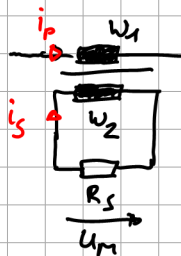


$$U_m = R_s \cdot I$$

- + einfach
- + sehr schnell / hohe Bandbreite
- Verluste
- potentiell belastet

Anforderungen: sehr genau (geringe Toleranz), niederinduktiv, geringe Drift

- Stromwandler (-Trafo)



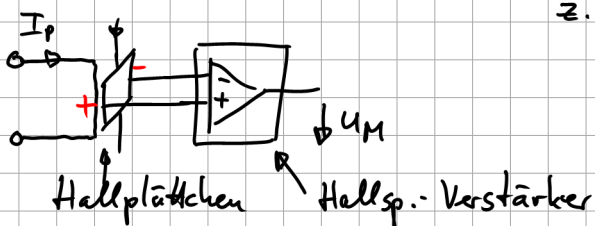
$$U_m = R_s \cdot \frac{w_1}{w_2} \cdot i_p$$

- + potentiellfrei
- + Skalierung möglich
- nur für Wechselströme

- Strombildner - IC

Shunt mit integriertem Transistorverstärker / Instrumentenverstärker
z.B. INA sowie sethren

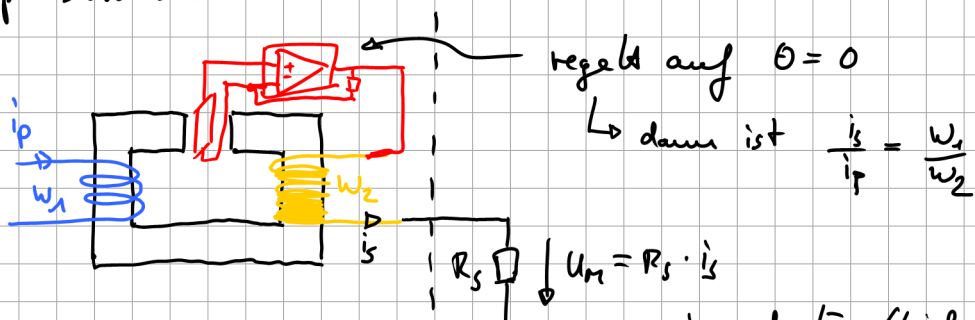
• Hall-Effekt - Stromwandler



z.B. ACS712

- + günstig
- + klein (SMD-Gehäuse)
- rauschempfindlich
- Dynamik
- ungenau bei kleinen Strömen

• Kompensationsstromwandler



$$U_M = \frac{U_M}{i_p} = \frac{R_s \cdot i_s}{i_p} = R_s \cdot \frac{w_1}{w_2}$$

- + auch für Gleichstrom
- + potentialfrei
- + sehr robust
- + genau
- groß
- teuer
- Dynamik bis 200 kHz

Beispiel: LAH25NP (LEM)

$$I_{PN} = 25A$$

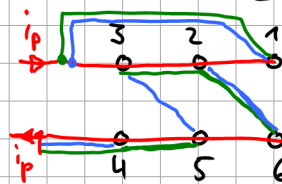
$$I_{SN} = 25mA$$

Zu messender Strom: $I = 5A$, abzuscheiden auf 3V

Aus Datenblatt:

$$K_N = 1-2-3 : 1000 \rightarrow w_1 = 1,2,3 \\ w_2 = 1000$$

Sechs Poles für i_p :



$$\begin{aligned} w_1 &= 1 \\ &= 2 \\ &= 3 \end{aligned}$$

$$\Rightarrow w_1 = 3 \Rightarrow I_{PN} = \frac{25A}{3} = 8A$$

$$V_M = \frac{U_M}{i_p} \stackrel{!}{=} \frac{5V}{5A} = 1\Omega = \frac{R_S \cdot i_S}{i_p} = R_S \cdot \frac{w_1}{w_2}$$

$$R_S = \frac{w_2}{w_1} \cdot V_M = \frac{1000}{3} \cdot 1\Omega = 333\Omega$$

- Magnetoresistive Sensoren
 - Ausnutzung des GMR-Effekt (Giant Magnetic Resistor)

$$R = f(B)$$

- + hohe Dynamik: Bandbreite bis 2 MHz
- + sehr genau
- groß, teuer
- beim Layout sollte der Footprint und die Anordnung aus Datenblatt übernommen werden

3) Temperatur

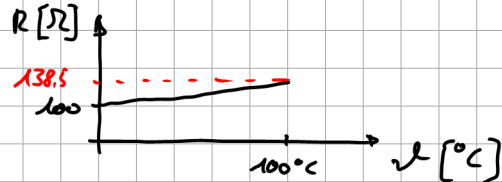
- Heiß - / Kaltleiter $\rightarrow R = f(\vartheta)$
- PT100

\rightarrow Platindräht : $R(0^\circ\text{C}) = 100 \Omega$

$$R(\vartheta) = \frac{38,5 \Omega}{100 \text{ K}} \cdot \vartheta + 100 \Omega$$

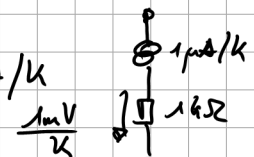
+ sehr gute
Linearität

- sehr geringe
Steigung $(\frac{dR}{d\vartheta})$



- Temperatursensor - ICs

- temperaturabhängige Stromquelle (AD592) $1 \mu\text{A}/\text{K}$



- " Spannungsquelle (LM355) $40 \text{ mV}/\text{K}$

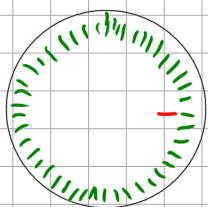
Spannungsquelle (LM355)
 $40 \text{ mV}/\text{K}$

Nachteilig: Gehäuse kann schmelzen, therm. Zeitkonstante

4) Drehzahl- / Lagegeber

- Drehzahl : Tachogenerator, GM mit $4; \sim 5\Omega$
- inkrementalgeber
 - transparente Scheibe mit Strichkodierung
 - optische / magnetische Abtastung

↳ Referenzmarke



Impulse 1 1 1 1 1 1 1

- Drehzahl :
 1. Pulse detektieren und Zeit dazwischen messen
 2. Zeit abwarten und Pulse dazwischen zählen
- 2 Scheiben relativ zueinander mit spezieller Struktur,
z.B. Interferenzmuster, Ausnutzung von Beugungseffekten
 \rightarrow sinusförmig modulierte Lichtintensität



Sensor



→ PLL möglich
 (Phase Locked Loop = Phasenregelkreis)
 ⇒ Winkelinformation zwischen
 zwei Strichen
 ⇒ Interpolation möglich ⇒ Steigerung der Genauigkeit
 (Tachos 4000 dient Hersteller)

- Auswertung mit Microcontroller / einfacher Hardware
- QEI - "Quadrature Encoder Interface" (Microchip)

Phase A



90° Versatz
 → Drehrichtung

Phase B



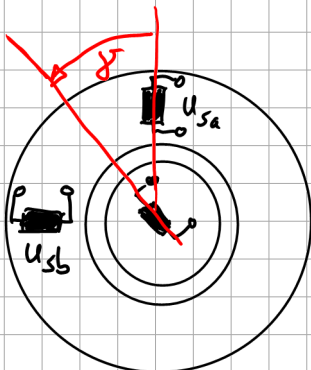
Index



1x pro mech. Umlauf
 → Absolutlage / Referenz

→ QEI wekt die Pulse aus und inkrementiert Zähler

- Resolver



- Zwei um 90° versetzte Wicklungen im Stator

- Erregerwicklung im Rotor

→ gespeist über Ringkreis

mit $\omega_{HF} \gg \omega_{\text{Rotor}} \sim 10 \text{ kHz}$

im Rotor:

$$i_R = \sqrt{2} I_R \cdot \cos \omega_{HF} t$$

$$\gamma = 0$$

im Stator:

$$U_{sa}(t) = \cos \gamma \cdot \sin \omega_{HF} t \cdot \omega_{HF}$$

$$= \sin \omega_{HF} t \cdot \omega_{HF}$$

$$U_{sb}(t) = \sin \gamma \cdot \sin \omega_{HF} t \cdot \omega_{HF}$$

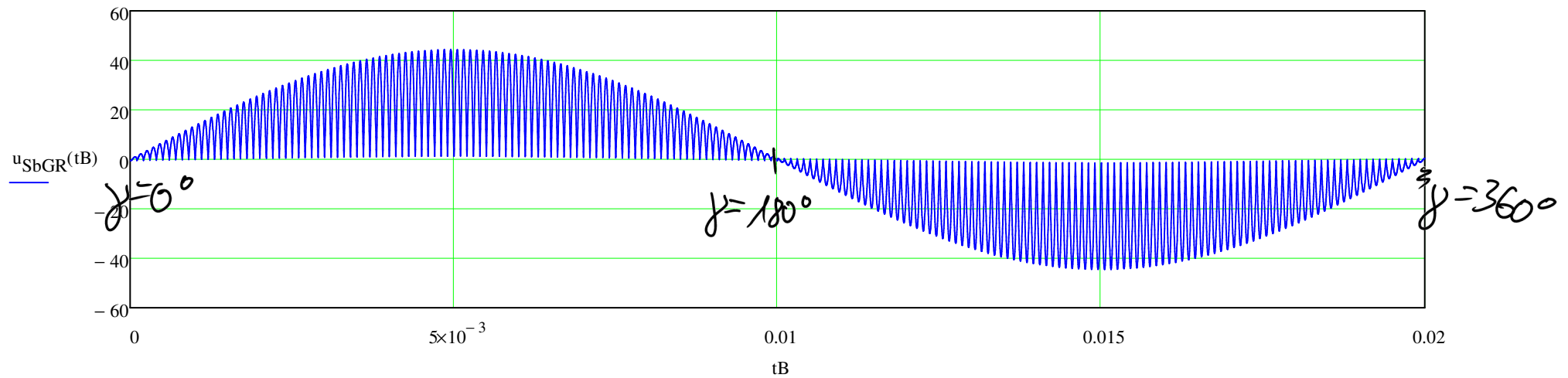
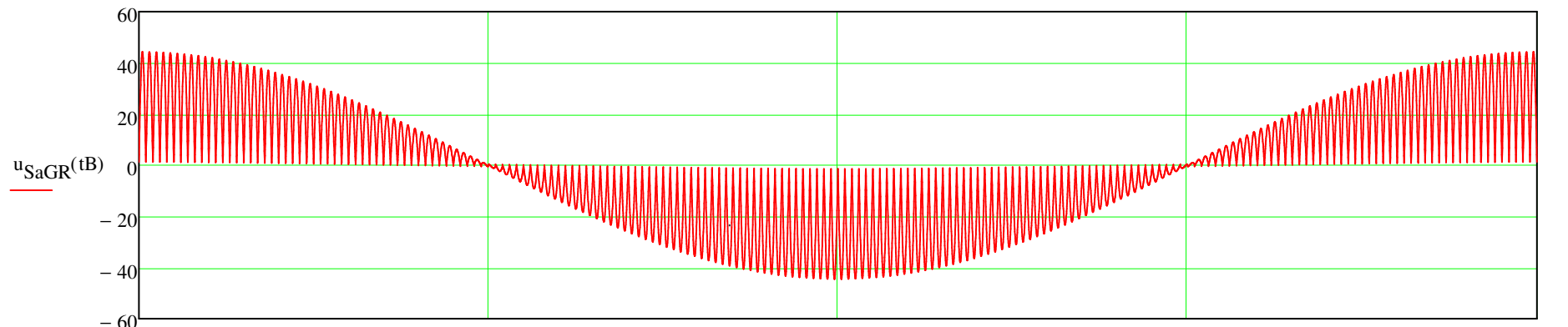
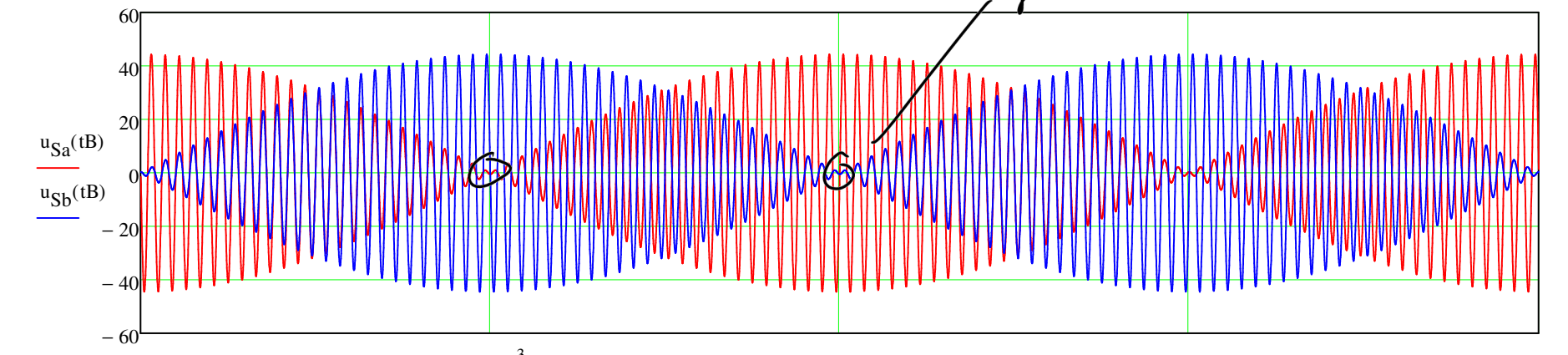
$$= 0$$

$$\tan \gamma = \frac{\sin \gamma}{\cos \gamma} = \frac{U_{sb}(t)}{U_{sa}(t)}$$

$$\gamma = \arctan \left(\frac{U_{sb}(t)}{U_{sa}(t)} \right)$$

→ HF wird mit γ moduliert (Amplitudenmodulation)

Zu "Resolver":



- je größer ω_{eff} , desto besser die Auswertung
- Demodulation mittels Synchron-Gleichrichter

$$u_{s,a,b, \text{GR}} = \begin{cases} u_{s,a,b}(t) & \text{für } i_R > 0 \\ -u_{s,a,b}(t) & \text{für } i_R < 0 \end{cases}$$

- In $u_{s,a,b}$ sind die Amplituden proportional zum Sinus, bzw. Cosinus φ

→ Absolutlage ist immer bekannt, auch im Stillstand

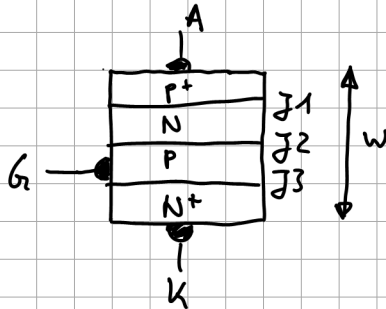
5) Drehmoment

- Drehmomentmesswellen
 - Dehnmessstreifen → Torsion wird ausgewertet
 - empfindlich gegenüber Überlastung

III. Netzegeführt Stromrichter

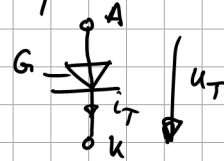
1) Thyristor

- rückwärts sperrfähig
- über Steuerauschluss einschaltbar
- 4-Schichten - Bauelement: $P^+ N P N^+$



G - Gate
A - Anode
K - Kathode

Schaltsymbol:



- pos. Sperrspannung: an J2
- neg. " " : an J1
- an J3 kann keine Sperrspannung angenommen werden, da
 - 1) im Sperrzustand: rel. niedrige (kleine Sperrschicht, damit günstige Steuerleistung möglich)

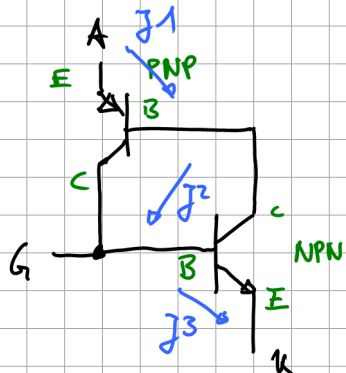
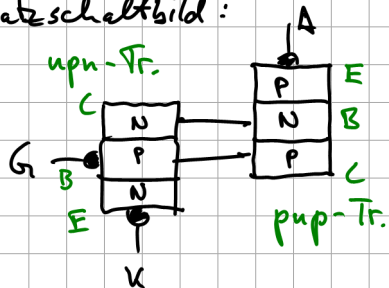
2) bei DL: wird durch Steuerstrom überbrückt

⇒ für hohe Sperrfähigkeit an J1 und J2

⇒ breite N-Basis zwischen J1 und J2

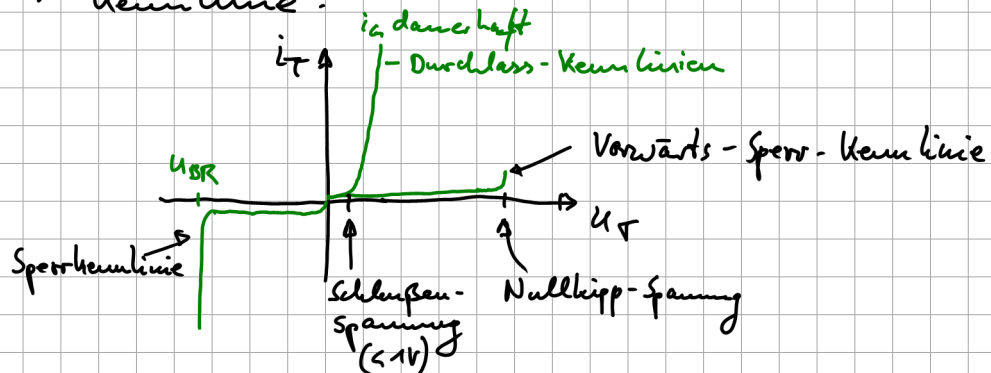
- niedrige DL-Verluste ⇒ große Trägerlebensdauer
- $w \approx$ einige 100 μm
- Durchmesser: 10 cm

Ersatzschaltbild:

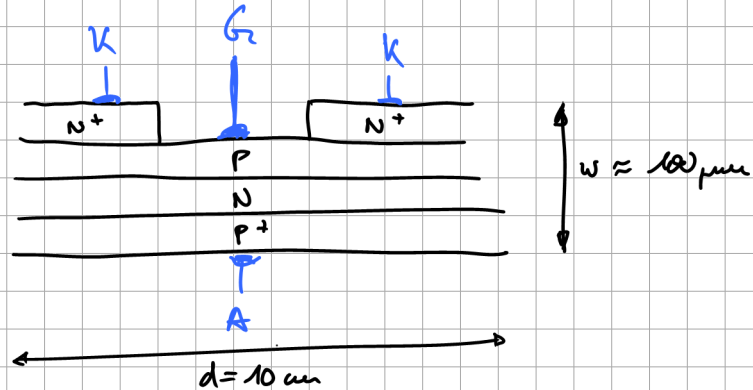
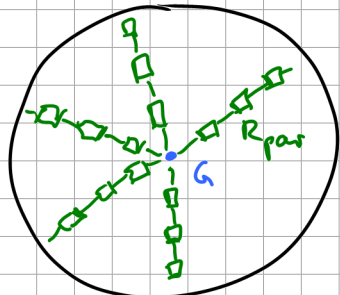


- Bistabiles Bauteil Ein/Aus
- durch Steuerstrom i_S bei pos. Anodenpotential
 \hookrightarrow Einschalten

• Kennlinie:



- räumlich großflächige Struktur
 - ↳ der großen, gewünschten Stromtragfähigkeit geschultet



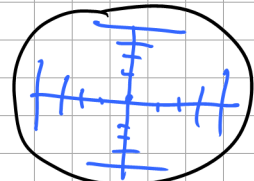
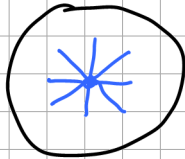
- Bahnwiderstand R_{par} in der Gate-Zone

⇒ Sperrschicht J_2 bricht östlich begrenzt in axialem Richtung
zusammen
⇒ Hot Spots!



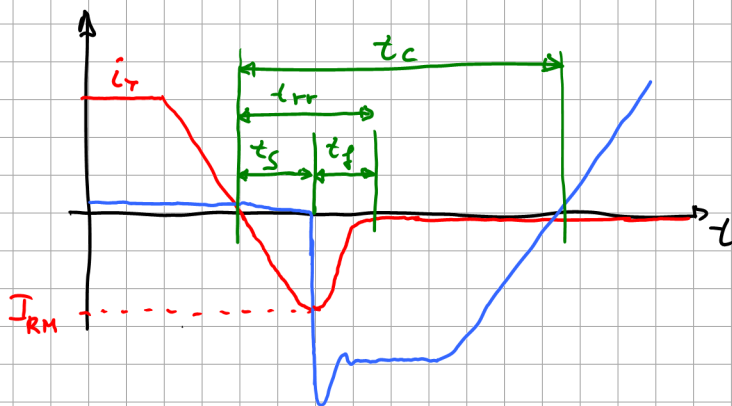
Ausbreitung des Steuerstroms
in radialem Richtung mit $0,05 - 1 \text{ mm} / \mu\text{s}$

Ablösse : 1. Finger - / Schreifengates



2. Begrenzung des Stromausstiegs $\frac{dI}{dt}$
z.B. Kondensatordrosseln

a) Schaltverhalten - Ausschalten



t_s = Spannungs-Nachlaufzeit

t_f = Rückstromfallzeit

t_{rr} = Rückstromdauer

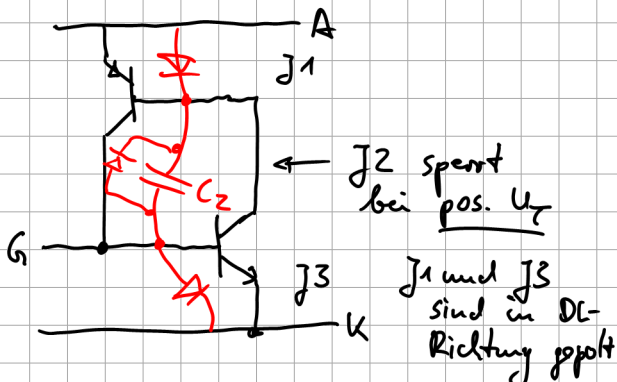
t_c = Schonzeit

t_q = Freiwerdezeit
 $\hat{=}$ Zeit, bis Vorw.-Sperrsp.
 aufgenommen werden kann

$$\Rightarrow t_c \stackrel{!}{\leq} t_q$$

- Ausschalten durch Abkommunitierung des Laststromes
- t_q, t_{rc} aus Datenblatt $\rightarrow t_q \sim x 100 \mu s$

- kritische Spannungssteilheit



$\frac{du}{dt} \Rightarrow$ bewirkt Verschiebstrom in C₂:

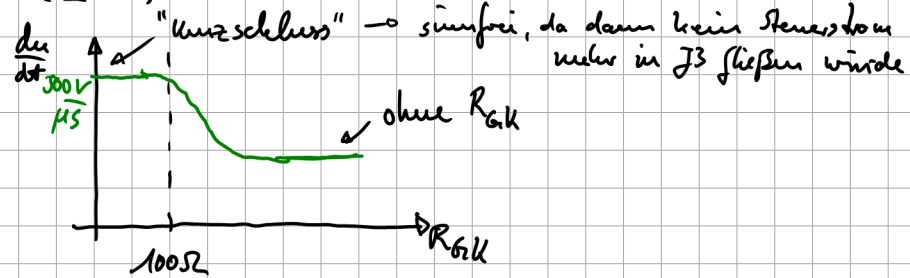
$$i_{C2} = C_2 \cdot \frac{du}{dt}$$

→ wirkt wie Steuerstrom im unteren NPN-Tr.

$\frac{du}{dt} > \frac{du}{dt}_{\max} \Rightarrow$ Th. schaltet ein
↑
Datenblatt

Ablauf:

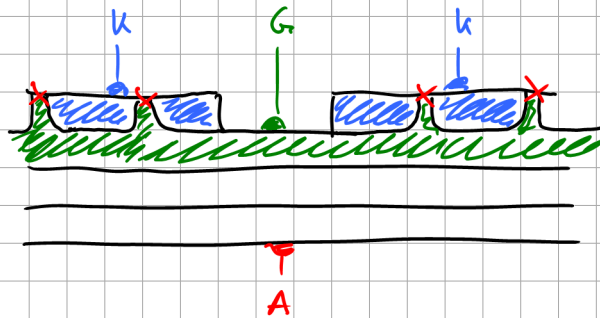
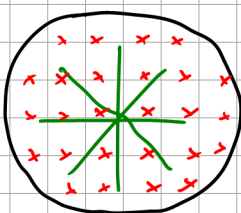
- bei kleinen Thyristoren ($\leq 10A$)



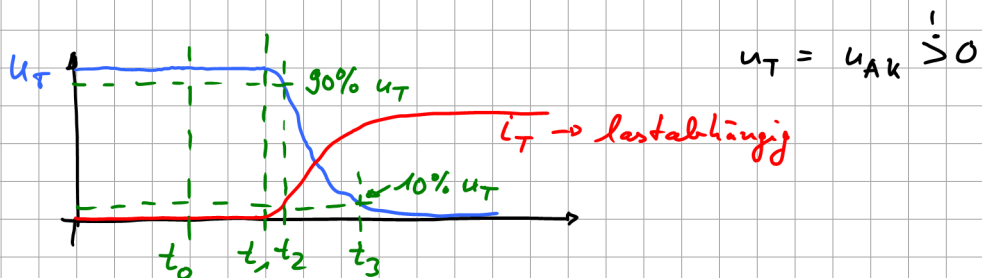
- bei großen Thyristoren:

Emitterknotenschlüsse (Emitter-Shortings)

→ Kurzschluss zw. Gr und K

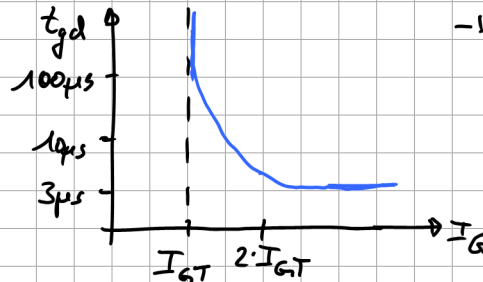


b) Schaltverhalten - Einschalten



- Zündzeitungszeit

$$t_{gd} = t_2 - t_0$$



\rightarrow Datenblatt (S20)

schwelles Zünden:

$$I_G = 1,2 \dots 5 \cdot I_{GT}$$

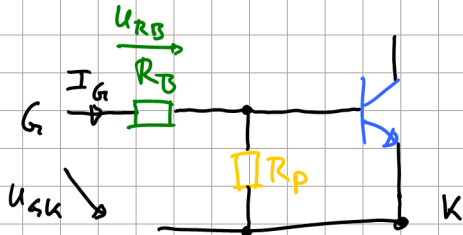
- Durchschaltzeit:

$$t_{gr} \rightarrow u_T \text{ von } 90\% \text{ auf } 10\% = t_3 - t_2$$

- Zündzeit:

$$t_{gt} = t_{gd} + t_{gr}$$

- Eingangsleiterlinie - Steuerleiterlinie



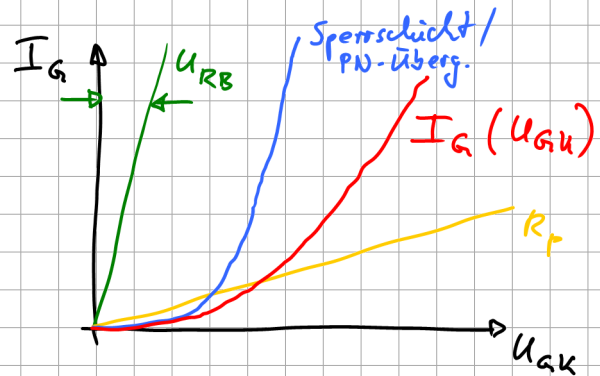
ϱ_p : $R_{G,K} + \text{Emittershorting}$

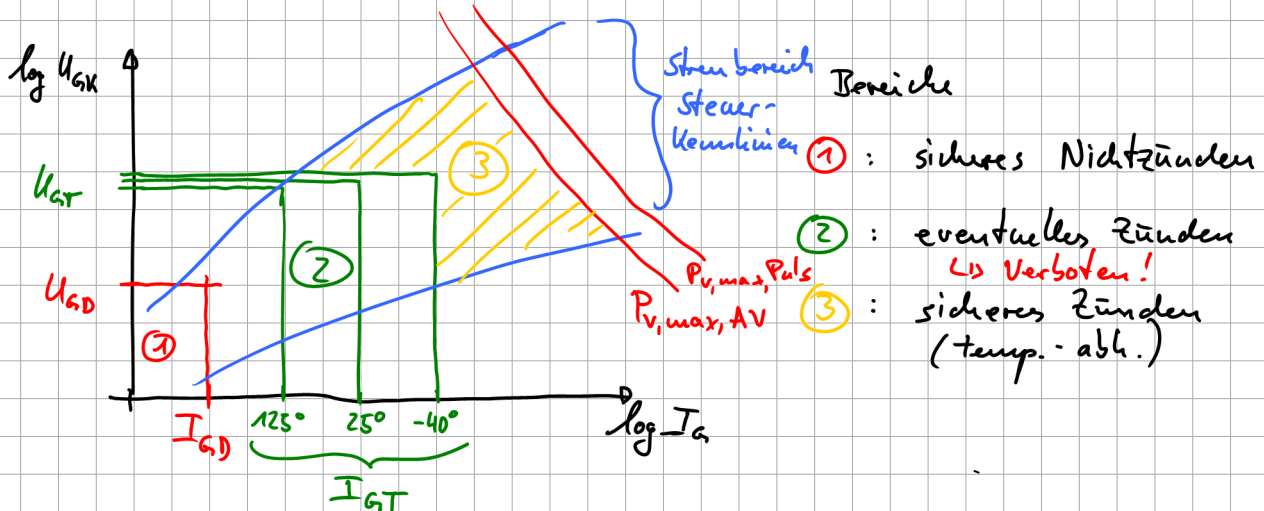
R_B : Balanzwiderstand

Datenblatt:

$I_{GT} / U_{GT} \hat{=} \text{Gate Trigger current / voltage}$

$I_{GD} / U_{GD} \hat{=} \text{"Non-Trigger"}$





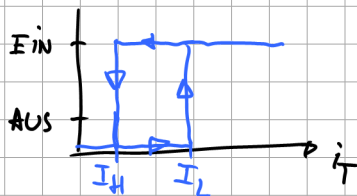
→ Bsp. im Datenblatt CS20 S.2 rechts oben

- Zündimpuls dauer

Mindesstrom, damit Th. eingeschaltet bleibt : Einraststrom I_L
(Latch-Up Strom)

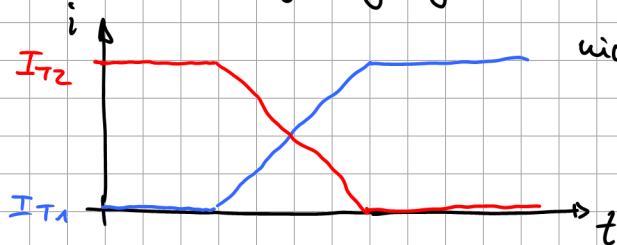
Ausschalten : Unterschreiten des Haltestroms I_H

Zustand :



Vorwärtsstrom des Thyristors hängt von Last ab

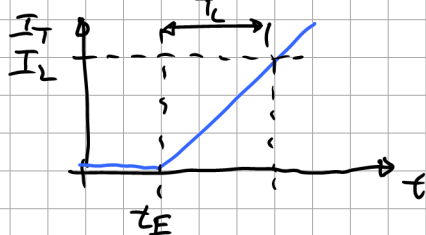
Kommutierungs vorgang:



nicht lösrend

- di/dt durch Last bestimmt
 - Ankerkreisinduktivität
 $\Rightarrow T_p \approx 100 \dots 500 \mu s$
 - Erregerkreis (L sehr groß)
 $\Rightarrow di/dt$ sehr klein)
- \Rightarrow Dauerpuls ($T_p \hat{=} \text{Leitdauer}$)

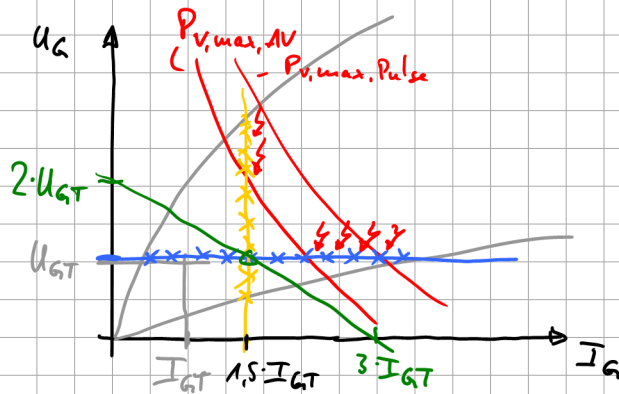
allg. bei induktiven Lasten:



$$i_T > I_L \Rightarrow T_p > T_L$$

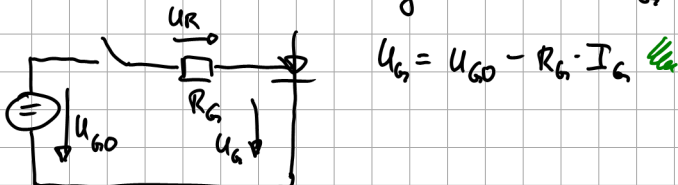
Zündimpulsdauer

2) Gate - Treiber für Thyristoren



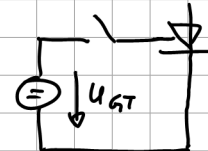
\Rightarrow I) und II) funktioniert so nicht!

III) Einstellen einer Arbeitsgeraden mit R_G



Arbeitspunkt bei $1,5 \cdot I_{GT}$ und U_{GT}

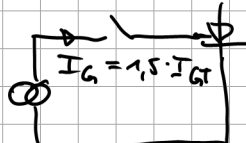
I) Spannungsquelle U_G



„mögliche Arbeitspunkte“

\hookrightarrow : Abh. vom Th.-Exemplar
liegt A.-Punkt im Sättigungsbereich
 $\rightarrow P_{V,\max}$ nicht einhaltbar

II) Stromquelle



$$\text{Leistungsanpassung: } R_i \stackrel{!}{=} R_G \stackrel{!}{=} R_L \stackrel{!}{=} \frac{U_G}{I_G}$$

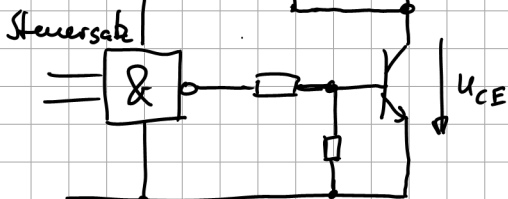
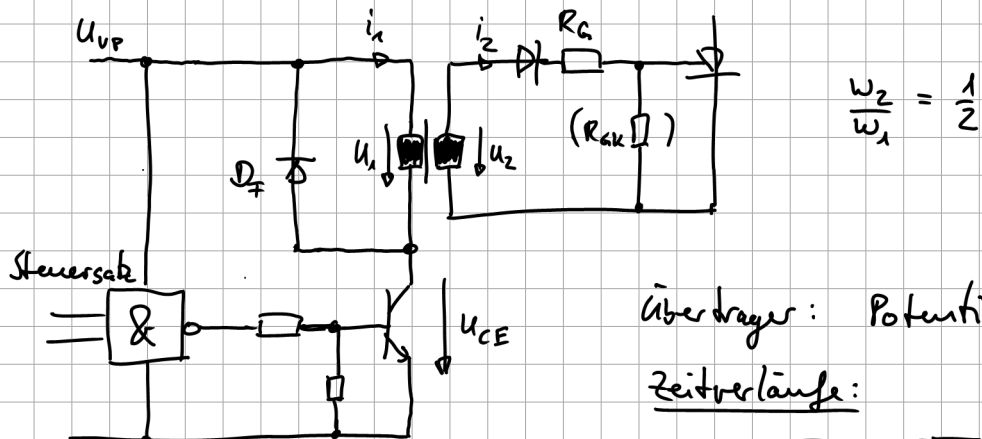
$$R_i = R_G = \frac{\text{Leerlaufsp.}}{\text{Kurzschlussstrom}} = \frac{2 \cdot U_{GT}}{3 \cdot I_{GT}} = \frac{U_{GT}}{1,5 \cdot I_{GT}}$$

Beispiel: MCC 94

$$\left. \begin{array}{l} U_{GT} = 1,6V \\ I_{GT} = 200 \mu A \end{array} \right\} -40^\circ C \Rightarrow R_G = \frac{2}{3} \cdot \frac{1,6V}{200 \mu A} = 5,3 \Omega$$

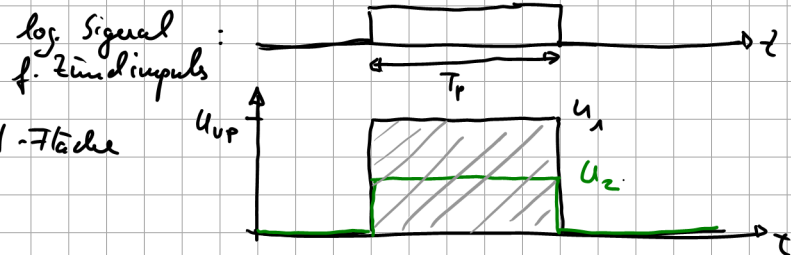
$$U_{GO} = 2 \cdot U_{GT} = 3,2V$$

a) Typische Gate-Treiber für Thyristoren - Zündverstärker



Übertrager: Potentialteilung

Zeitverläufe:

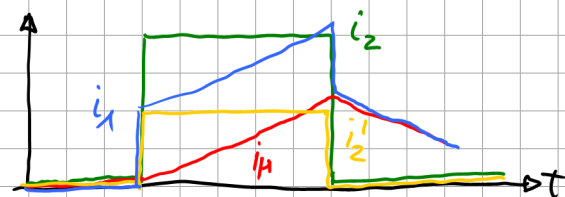


⇒ primärseitige Spannungs-Zünd-Fläche

$$u \cdot T = \int u dt = \varphi$$

$$i_x = i_2' + i_\mu$$

$$= \frac{w_2}{w_1} \cdot i_2 + \frac{U_{VP}}{L_h} \int dt$$



Stromimpuls

"Steile Flanke" / Stromanstieg wird durch L_0 begrenzt



typ. Stromkurve eines Zündimpulses

R_1 : primärseitiger par. Widerstand

magnetischer Kreis:

$$i_p = \frac{1}{L_h} \int u dt = \frac{U_{VP}}{L_h} \int dt \Rightarrow \text{Steigung von } i_p \text{ beim Aufmagnetisieren: } \frac{di_p}{dt} = \frac{U_{VP}}{L_h}$$

$$\hat{i}_p = \frac{U_{VP}}{L_h} \cdot T_p = \frac{\gamma_1}{L_h} = \frac{w_a \cdot \phi_1}{L_h} \stackrel{!}{\leq} \frac{w_a \cdot B_{sat} \cdot A_k}{L_h} = i_{p, \text{sat}}$$

B_{sat} : Sättigungsflussdichte

A_k : Kernquerschnitt

Abmagnetisieren:

$$\frac{d\varphi}{dt} = \frac{U_{abun}}{L_h}$$

NSR: lange Zündimpulse je nach Anwendung notwendig

$\Rightarrow T_p$ groß

Z.B.: B2 $T_p \leq 10 \text{ ms}$ bei 50 Hz

B6 $T_p \leq 6,7 \text{ ms}$ — u —

- Langimpulse schlecht \rightarrow gr. $\dot{\varphi}$ \Rightarrow gr. Übertrager ($\omega_1 \cdot B_{sat} \cdot A_k$)
 \rightarrow feiner, groß

- $\dot{\varphi}$ Klemgröße für Zündübertrager: $\dot{\varphi} < \dot{\varphi}_k$

$$Sudt \leq \omega \cdot \vec{B} \cdot A_k$$

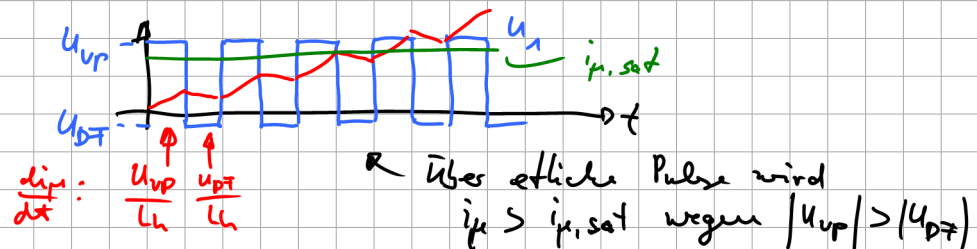
- Abfälle: Kettenpulse



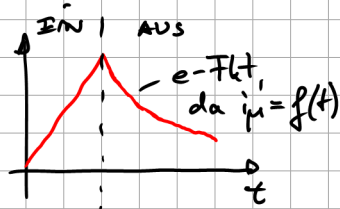
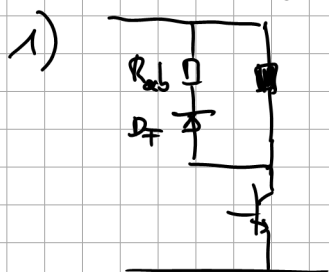
- falls die Lücken stören sollten \rightarrow 2. Kettenpuls komplementär zum 1. Kettenpuls

\Rightarrow Übertrager muss nur T_p' bemessen werden

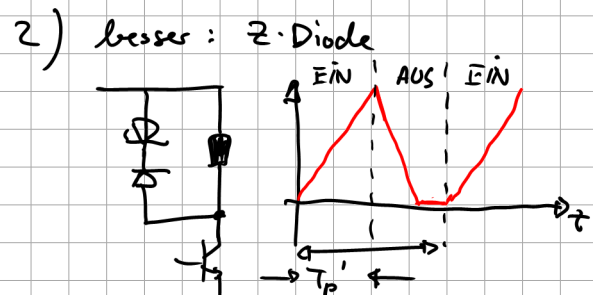
- Abmagnetisierung:



höhere Abmagnetisierungsgrade:



$$U_{ab} = -U_{DF} - R_{ab} \cdot i_p$$



$$U_{ab} = -U_{DF} - U_Z$$

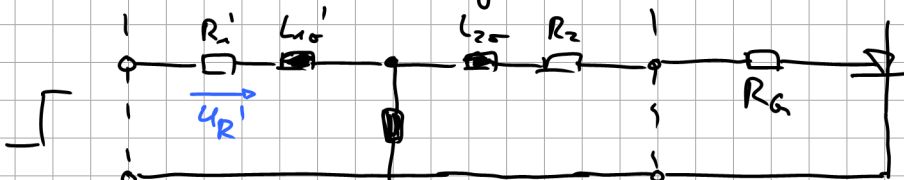
i_p ist immer Null, bei Beginn des nächsten Pulses

b) Dynamisches Verhalten des Zündübertragers

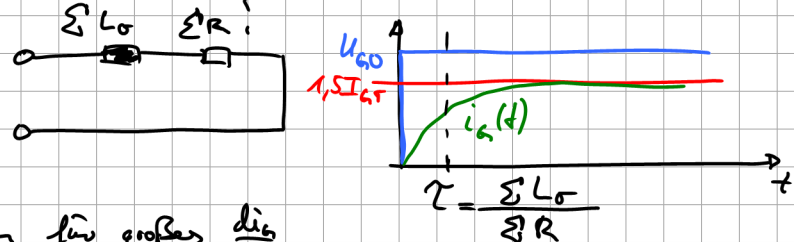
gewollt: hohe Stromimpulse ($1,5 \dots 5 \cdot I_{GT}$) \rightarrow Reduzierung $\frac{di_a}{dt}$

mit schnellem Stromanstieg $\frac{di_a}{dt}$ \rightarrow Gleichzeitigkeit verbessern + Risiko f. HotSpots minimal

$\frac{di_a}{dt}$ durch L_o des Übertragers bestimmt:

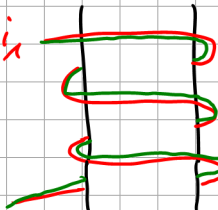


Bei impulsf. Strom:



\Rightarrow kleine Streinduktivitäten für großen $\frac{di_a}{dt}$

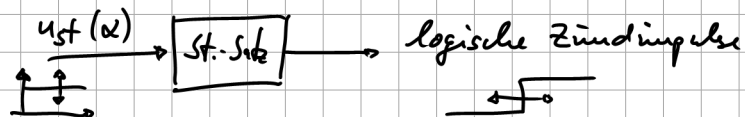
\Rightarrow bifilare Wicklung:



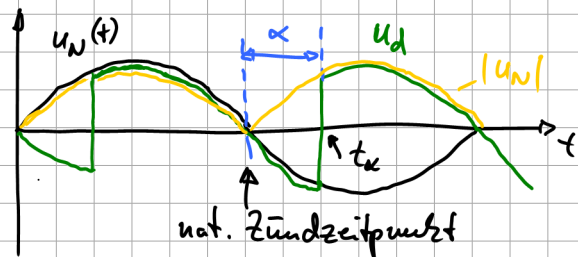
Nachteil: Spannungsfestigkeit

3) Steuersatz für netzgeführte Stromrichter

a) Zündzeitpunkt / Zündwinkel



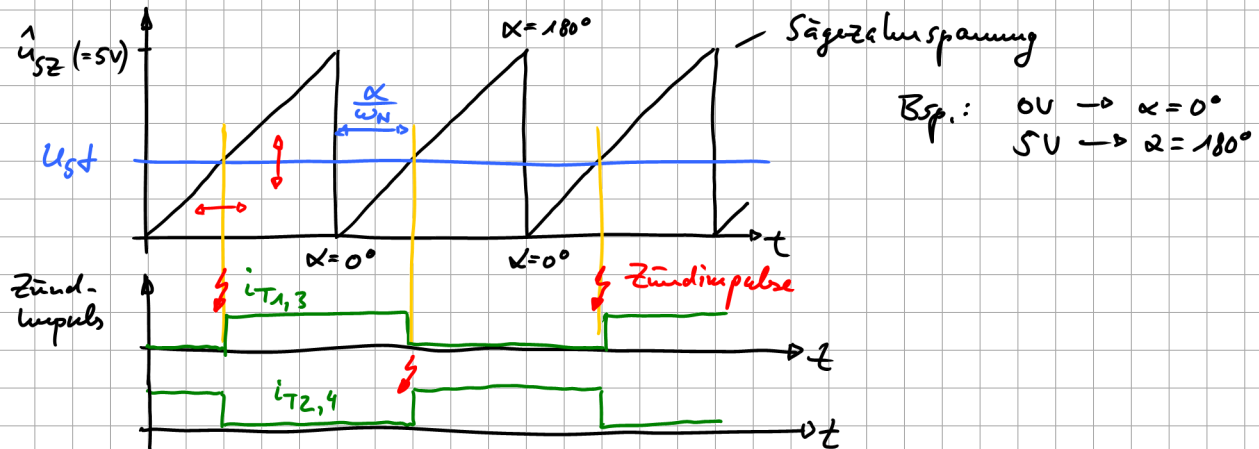
steuernde Größe bei NSR: Zündwinkel α



Beispiel: Zweipuls-Brücken-
schaltung

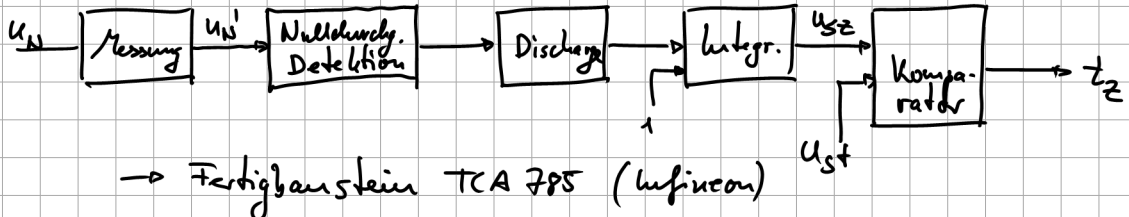
$$t_\alpha - t(\alpha=0) = t(\alpha=0) + \frac{\alpha}{\omega_N}$$

b) Sägezahnlustensatz



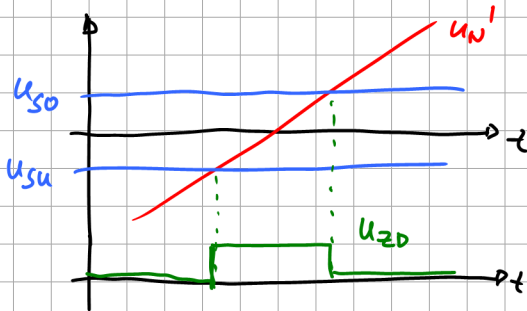
Steuersatz:

- Detektion der nat. Zündzeitpunkte
- Synchronisation auf f_N (und nat. Zündzeitp.)
 - 1) Netzeleistung messen
 - 2) Nulldurchgangs detektion
 - 3) Rampe (Integrator) zunächstsetzen



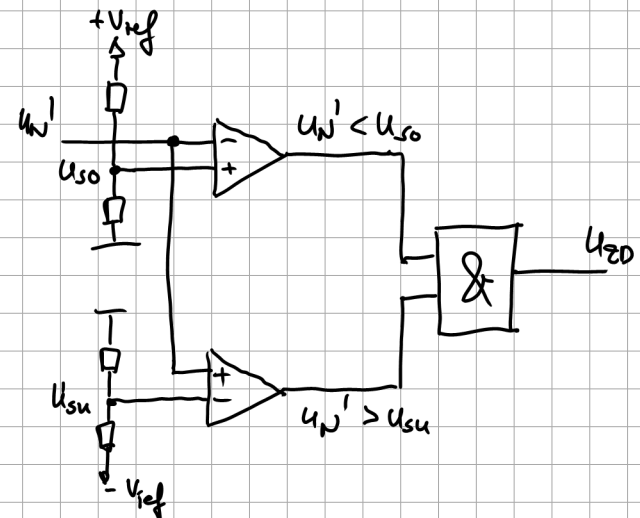
- Nulldurchgangsdetektion

\rightarrow Fensterdiskriminat.



$$u_{N'} = 10 \text{ V} \cdot \sin(\omega_0 t)$$

$$= \frac{1}{\sqrt{2} \cdot 23} \cdot u_N(t)$$



$$u_{so} = 100 \text{ mV}$$

$$u_{su} = -100 \text{ mV}$$

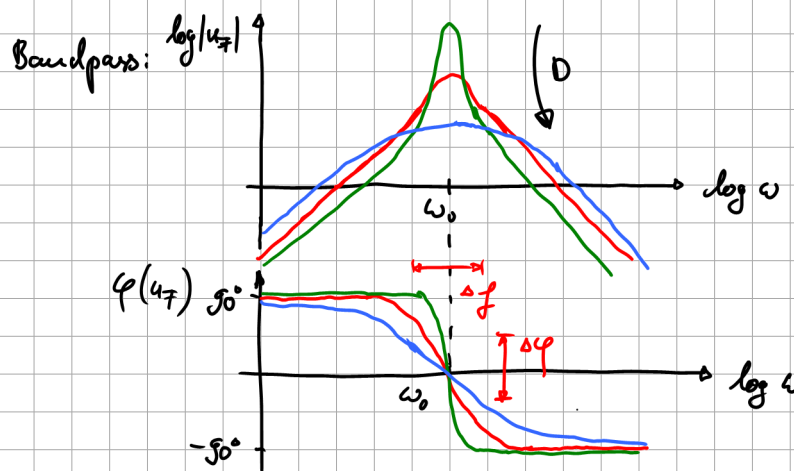
Problem: tatsächliche Netzespannung verursacht



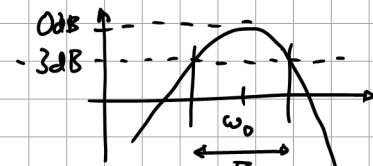
Abhilfe: Filtern

Tiefpass?
→ Phasenverschiebung

Besser: Bandpass



$$\omega_0 = 2\pi f_0 = \text{Mittenfrequenz}$$

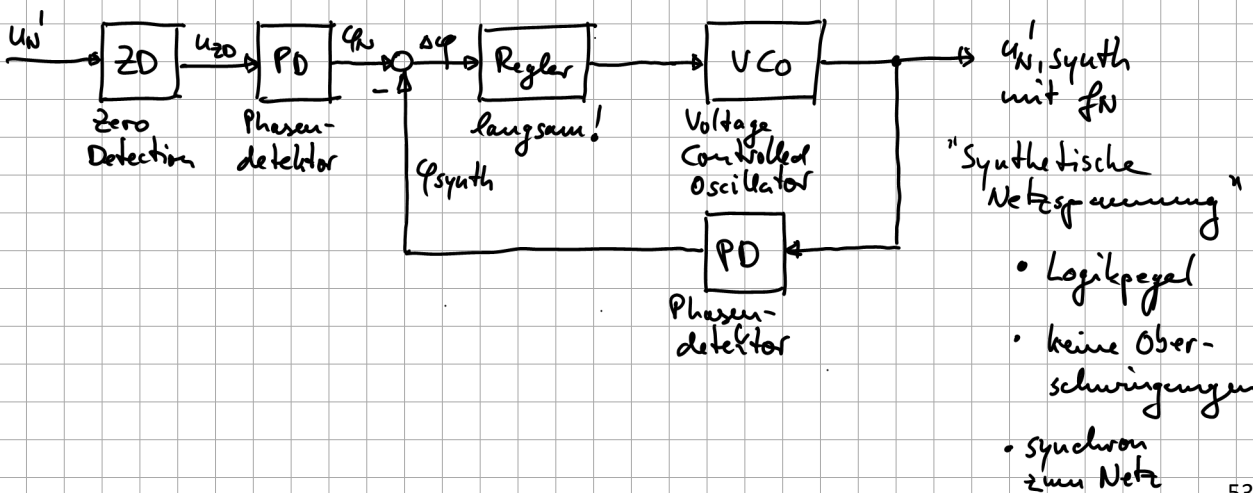


$$S = 2 \cdot D \cdot f_0$$

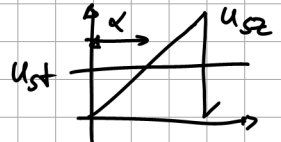
- Bandpass: keine Phasenverschiebung bei ω_0
- je größer die Dämpfung D , desto geringer $\Delta\varphi$ bei gegebenem Δf
 \rightarrow Für Netzspannung eklarum Bandpass und großem D

mit Kenntnis der Nullstellschwingungen:

PLL (Phase Locked Loop) = Phasenregelkreis



- Übertragungsverhalten des Sägezahn-Steuersatzes
(Bsp. Zweipulsbrücke)



$$u_{st} = \hat{u}_{sz} \quad \Rightarrow \quad \alpha = 180^\circ = \pi$$

$$\Rightarrow \alpha(u_{st}) = \pi \cdot \frac{u_{st}}{\hat{u}_{sz}} \quad \rightarrow \text{linear}$$

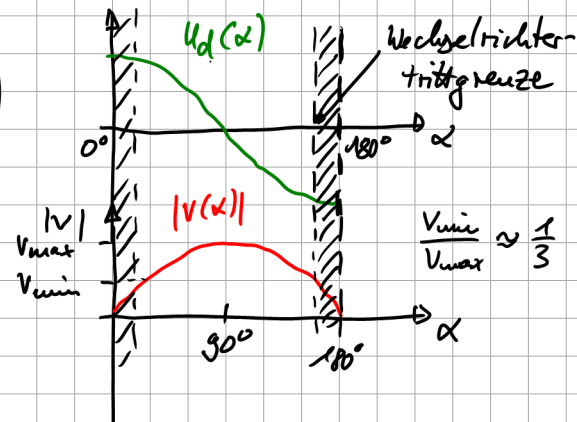
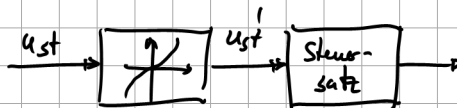
$$u_d = \frac{2\sqrt{2}}{\pi} \cdot u_N \cdot \cos \alpha = \frac{2\sqrt{2}}{\pi} \cdot u_N \cdot \cos \left(\pi \cdot \frac{u_{st}}{\hat{u}_{sz}} \right) \quad \rightarrow \text{nichtlinear}$$

Verstärkung des SZ-Steueratzes

$$V = \frac{d u_d}{d u_{st}} = - \frac{2\sqrt{2}}{\pi} \cdot u \cdot \frac{\pi}{\hat{u}_{sz}} \cdot \sin \left(\pi \cdot \frac{u_{st}}{\hat{u}_{sz}} \right)$$

→ Beschränkung der Aussteuerung!

Ablöfe: kompensierendes Kettlinienglied
↳ \arcsin



c) lineares Sinusgesetz

Cosinussteuersatz, Cosine-Wave-Crossing-St.-S. (cwc)

$$U_d \stackrel{!}{\sim} u_{st} \Rightarrow U_d = V_{SG} \cdot u_{st}$$

$$U_d = \frac{2\sqrt{2}}{\pi} \cdot U \cdot \cos \alpha \stackrel{!}{=} V_{SG} \cdot u_{st}$$

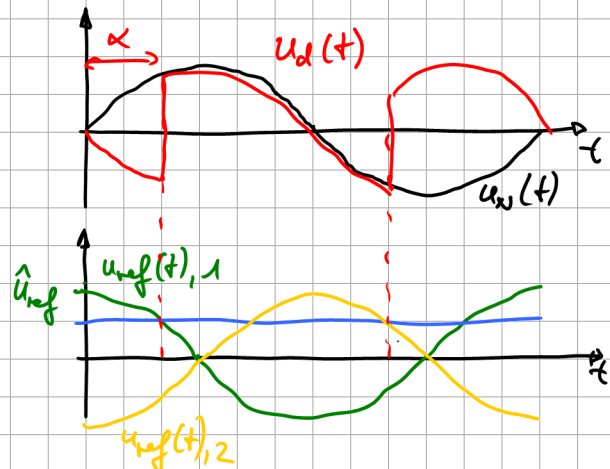
$$\begin{aligned} u_{st}(\alpha) &= \frac{1}{V_{SG}} \cdot \frac{2\sqrt{2}}{\pi} \cdot U \cdot \cos \alpha \\ &= \frac{1}{V_{SG}} \cdot \frac{2\sqrt{2}}{\pi} \cdot U \cdot \cos(\omega_n \cdot t_s) \end{aligned}$$

$$u_{ref}(t) = \frac{1}{V_{SG}} \cdot \frac{2\sqrt{2}}{\pi} \cdot U \cdot \cos(\alpha \cdot t)$$

→ Cos-Aabhängigkeit wird dadurch in die Referenzsp. verlagert

$$\hat{u}_{ref} = \frac{1}{V_{SG}} \cdot \frac{2\sqrt{2}}{\pi} \cdot U \Rightarrow V_{SG} = \frac{2\sqrt{2}}{\pi} \cdot \frac{U}{\hat{u}_{ref}}$$

→ Wenn $\hat{u}_{ref} \sim U$ geführt wird → U_d unabhängig von U (Vorsteuerung!)



IV. Selbstgeführte Stromrichter

1. Halbleiter-Schalter

Bedingung f. SSR: abschaltbar

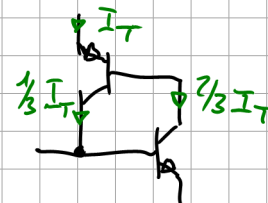
Thyristoren: (Thyristoren mit Löschschaltung / Zwangskommunikation)

GTO; IGBT → aktuelle Technik

Transistoren: Bipolarer Transistor, Mosfet, IGBT

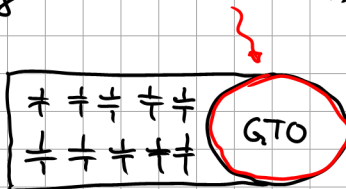
a) GTO - Gate-Turn-Off-Thyristor

- kein verteiltes Gate, niedrigwellig \rightarrow normaler Th.: Gatefläche \ll Kathodenfläche
GTO: " " \gg "
- Einwärtsstrom deutlich größer als bei Th. ($20x$)
 \Rightarrow Dauergatestrom
- Abschalten durch neg. Gatestrom
 \Rightarrow unterer NPN-Tr. schaltet ab.



b) IGBT - Integrated Gate Commutated Thyristor

- ringförmiger Gate-Ausschluss

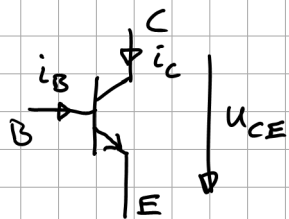
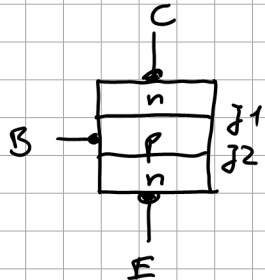


- Inversibilität im Gate-Kreis möglichst klein $\sim 5\text{nH}$
- Abschaltzeit $\sim 1\mu\text{s}$

→ leistungsfähiger GTO

- Abschalten durch Kommutationen des Laststroms I_L in den Gate-Kreis (sofort)

c) Bipolar - Transistor



normaler Betrieb upn:

$$U_{BE} > 0 \quad U_{CE} > 0$$

$$U_{CE} > U_{BE}$$

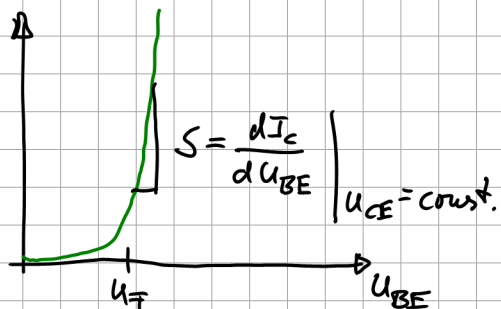
- Leistungstransistor: NS_NPN

1) Kennlinien

- Steuerkennlinie / Übertragungskennlinie

$$I_C = f(U_{BE})$$

$$\overline{I_C} \uparrow$$



- Steilheit: S

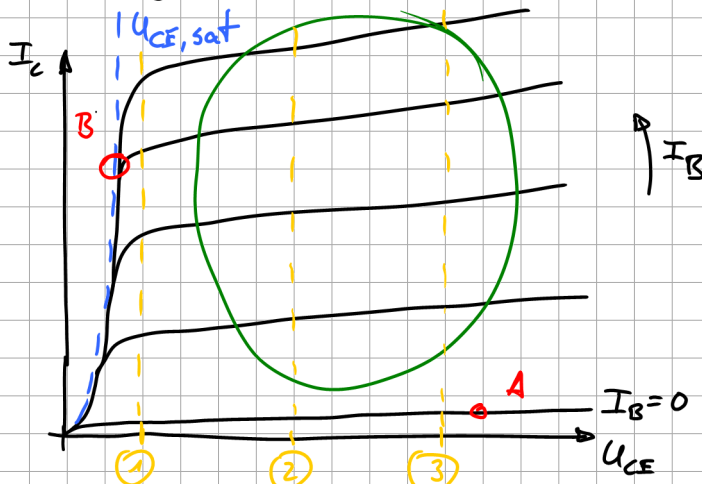
- Eingangs Widerstand (differenzial)

$$R_{IN} = \frac{dU_{BE}}{dI_B} = \frac{dU_{BE}}{dI_C} \cdot \frac{dI_C}{dI_B} = \frac{\beta}{S}$$

β = differenzialle Stromverstärkung

- Ausgangskennlinie

$$I_C = f(U_{CE})$$



• linearer Bereich

$$\hookrightarrow I_C \sim I_B$$

• I_B ist Parameter

• Sättigungsbereich

Basis ist mit Ladungsträgern
gesättigt.

$U_{CE,sat} = U_L$ der minimalen
CE-Spannung

2) Betrieb als Verstärker

im linearen Bereich : U_L fast waagrecht $\Rightarrow I_C \sim I_B$

statische Stromverstärkung :
(DC Current Gain: h_{FE})

$$\beta = \frac{I_C}{I_B}$$

$3 \leq \beta \leq 30$ Leistungs-Tr.

differentielle Stromverst. : $\beta = \frac{dI_C}{dI_B}$

$400 \leq \beta \leq 800$ Kleinsignal-Tr.

3) Schaltbetrieb

"Ein": $U_{CE} = U_{CE,sat} = \text{klein}$ (1V...3V bei Leistungstr.) } Arbeitspunkt B

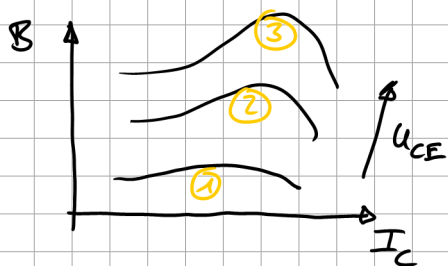
$$I_C = \text{groß}$$

"Aus": $U_{CE} = \text{groß}$

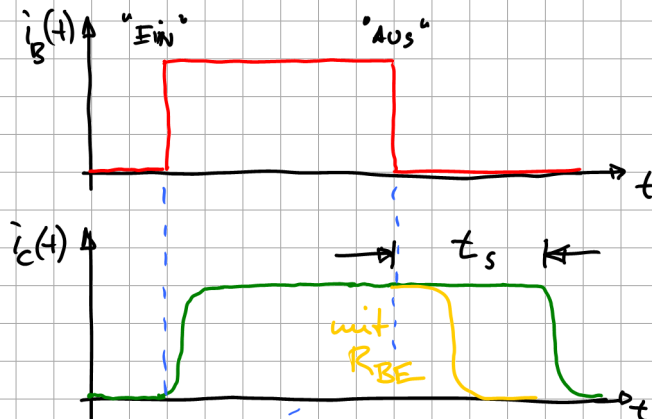
$I_C = \text{Sperrstrom} \approx 0$ ($\mu\text{A} \dots$ unter mA-Bereich) } A

- Sicheres Einschalten: Basis muss mit Ladungsträgern überschwemmt sein
 \Rightarrow Sättigungsbereich, I_C hängt nur noch von Last ab

$$I_B = \frac{I_C}{B} \Rightarrow I_B \geq \frac{I_{C,\max}}{B_{\min}}$$



4) dynamisches Verhalten

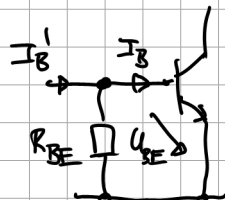


t_s : Speichzeit

→ zu viele Ladungsträger
in Basis

Ablöse: neg. Basisstrom

→ Basis-Emitter-Widerstand



$$I_B^l = 0$$

$$I_B = -\frac{U_{BE}}{R_{BE}}$$

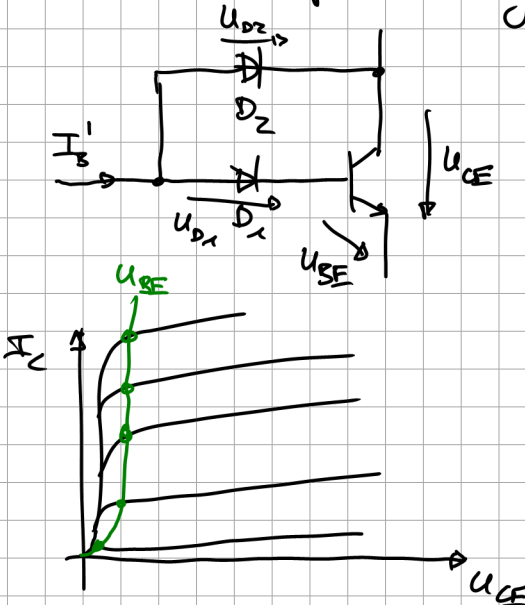
$$(1. \text{ Näherung: } R_{BE} = \frac{U_T}{I_{B,\text{max}}})$$

Quasi-Sättigungs-Schaltung

⇒ Tr. im Bereich zw. linearer Bereich und Sättigungsbereich

→ gerade so viele Ladungsträger in Basis, dass der lineare Bereich verlassen wird, der Tr. also "quasi" in Sättigung ist

→ kein Spenderladung in Basis \Rightarrow schneller Schalten möglich



$$U_{D_1} + U_{BE} = U_{D_2} \Rightarrow U_{CE}$$

$$\cancel{U_F} + U_{BE} = \cancel{U_F} \Rightarrow U_{CE}$$

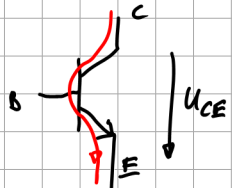
$$U_{BE} = U_{CE}$$

- ⊕ Kurze Schaltzeiten
→ Verwendung in Schottky-TTL z.B. 74LS00

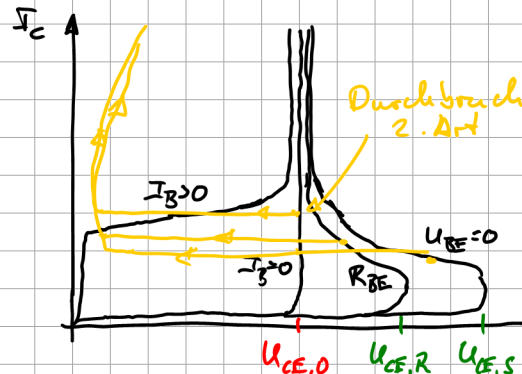
- ⊖ erhöhte Verluste

5) Grenzdaten

- $U_{EB,Br} \approx 5\dots 7V \rightarrow$ bipolare Tr. in der Regel nur mit pos. BE-Spannung beschreiben
- $U_{CB,Br} \approx 20\dots 80V \rightarrow$ Kleinsignal-Tr.
 $\geq 1200V \quad$ Leistungs.-Tr.
- max. Kollektor-Emitter-Spannung $U_{CE,max}$:



Spanstrom
= Basisstrom
I_B steuert ab
 $U_{CE,Br}$ den Tr.
auf



$U_{CE,0}$: mit offener Basis ($I_B=0$)

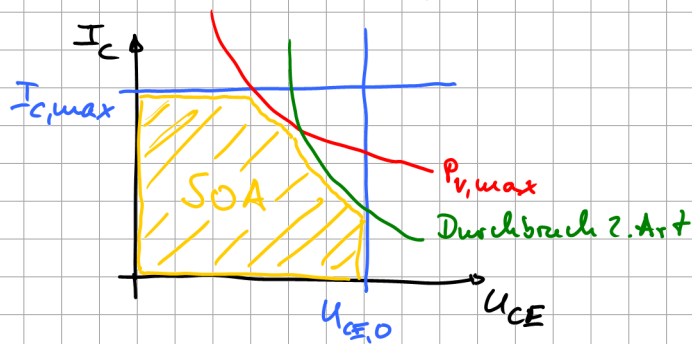
$U_{CE,R}$: mit Basis-Emitter-Widerstand



$U_{CE,S}$: Kurzschluss zw. B und E

- Durchbruch 1. Art: Avalanche-Effekt, reversibel, solange $P < P_{max}$
- " 2. Art: Hotspots \rightarrow thermische Rückkopplung
 \hookrightarrow nicht reversibel \rightarrow Zerstörung

- max. Verlustleistung:

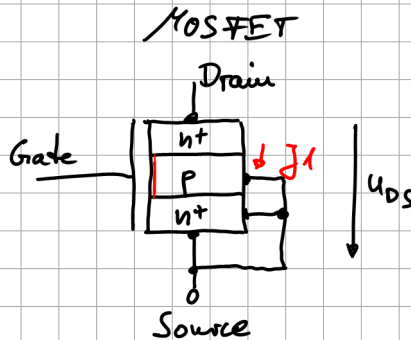


SOA: Safe Operating Area

Verlustleistung: $I_{C,max} = \frac{P_{V,max}}{U_{CE}}$

Durchbruch 2. Art: $I_{C,max} \sim \frac{1}{U_{CE}^x}$

d) MOS - gesteuerte Bauelemente



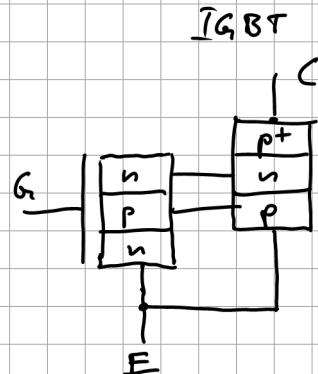
Schaltsymbol:



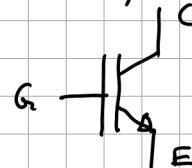
Ansteuerungstyp

Verarmungstyp

- unipolares Bauteil: nur Elektronen sind am Ladungsträgertransport beteiligt (n -Kanal)
→ kein Speichereffekt
⇒ schneller als IGBT



Schaltsymbol:



- bipolares Bauteil:
El. und Löcher sind am L.-Tr. beteiligt
→ niedriger als MOSFET

- + kleine Schaltzeiten
- + kleiner Steuerstrom (stationär: 0)

- $R_{DS,ON}$ groß bei großem $U_{DS,BR}$

- + geringer R_{on} \rightarrow bipolar
- + schnell
- + stationär kein Steuerstrom

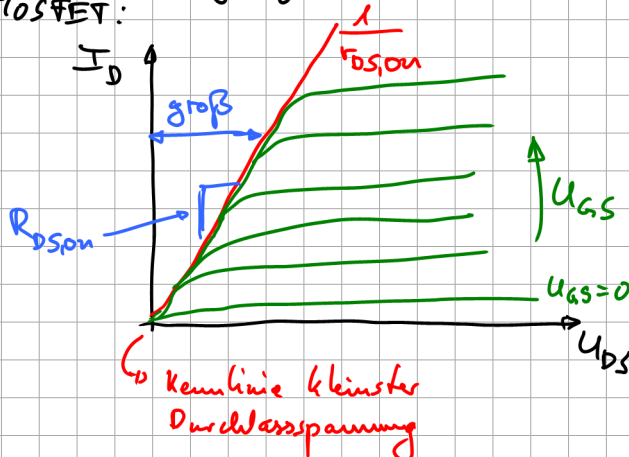
bei Trench-Technologie:

$$R_{DS,ON} \sim U_{DS,BR}$$

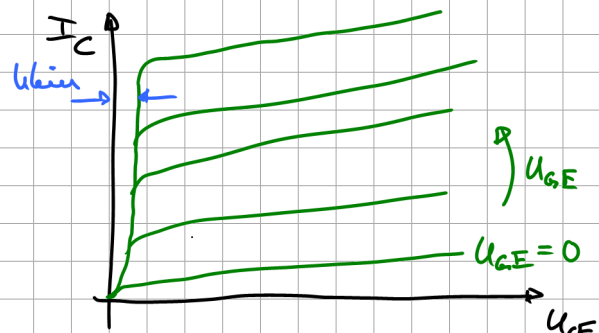
1) stationäres Verhalten

- Ausgangs-Kennlinie

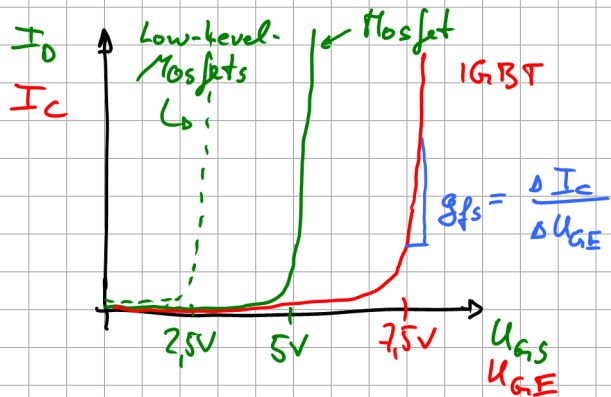
MOSFET:



IGBT:



- Steuerkurve linear



2) Ausleiterung als Schalter

- linearer Bereich für Mosfets / -IGBTs "verboden", da diese für den Schaltbetrieb designed sind. (\rightarrow Spezielle "lineare" Mosfets/IGBTs ausgenommen)

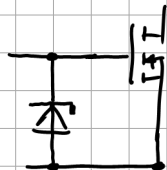
$$\text{EIN: } U_{GS}, U_{GE} = 12 \dots 18 \text{ V}$$

$$\text{AUS: } U_{GS}, U_{GE} = 0 \dots -18 \text{ V} \rightarrow \text{Mosfets (meist) mit } 0 \text{ V}$$

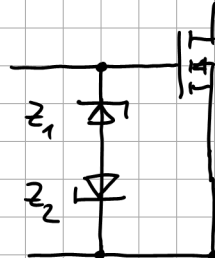
Grenzwert: $|U_{GS}|, |U_{GE}| < 20 \text{ V}$

IGBTs häufig mit $< 0 \text{ V}$

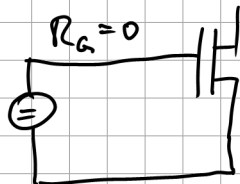
3) Schritte des Gates:



$$-U_F < U_{GS} < U_Z$$



$$-U_{Z_2} - U_F < U_{GS} < U_{Z_1} + U_F$$

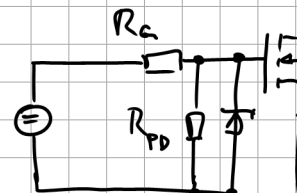


$\hat{=}$ pot. Oszillator

$$\Rightarrow R_G > R_{G,\min}$$

→ Dämpfung

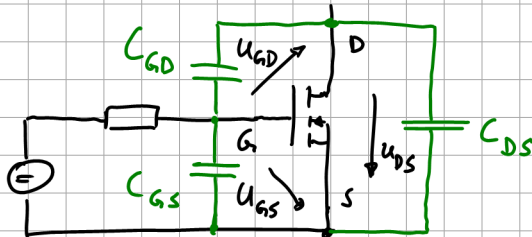
$$\rightarrow \text{Im Datenblatt } R_{G,\min} \sim 5 \dots 15 \Omega$$



R_{PD} : hochohmig
(100 kΩ)

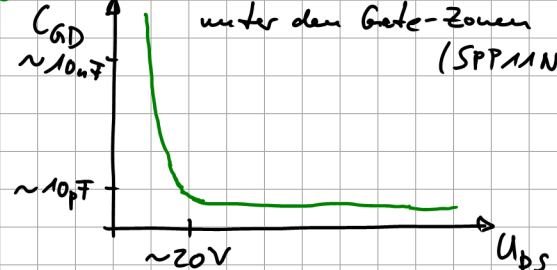
- Gegen statische Aufladung und undefinierte Zustände / Pegel am Gate
↳ Pulldown-Widerstand R_{PD} → hochohmig, z.B. 100 kΩ

4) Dynamisches Verhalten



Miller - Kapazität C_{GD}
(Rückwirkungskapazität)

→ spannungsabhängig, wegen
Inversion der Ansteuermöglichkeit
unter den Gate-Zonen
(SPP/M/N80C3)



Unladen der Kondensatoren:

z.B. $U_{DS} = 500 \text{ V}$ im Sperr-Zustand

	AUS	EIN	relevant für I_G ?
C_{GS} :	0V	15V	ja
C_{GD} :	-500V	15V	ja
C_{DS} :	500V	0V	nein

$$Q_G = \int I_G dt$$

in Datenblättern:

$$C_{iss} = C_{GS} + C_{GD}$$

Eingangs-Kap. ($i = \text{input}$)

$$C_{rss} = C_{GD}$$

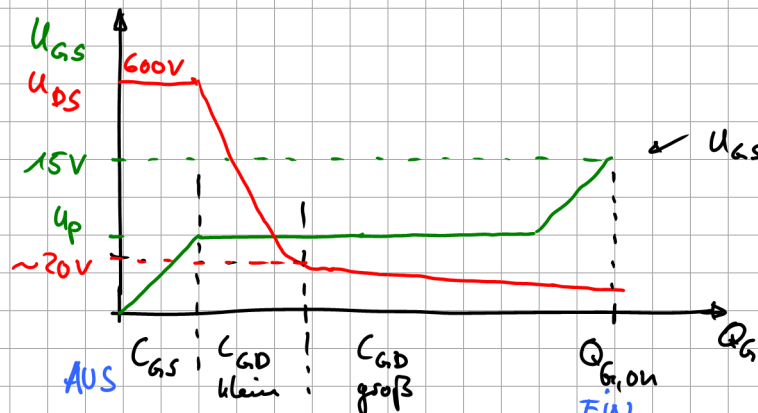
Rückwirkungs-Kap. ($r = \text{reverse transfer}$)

$$C_{oss} = C_{GD} + C_{DS}$$

Ausgangs-Kap. ($o = \text{output}$)

ss = small signal

Gate-Ladungsdigramm



→ U_{GS} und U_{DS} mit untersch. Skalierung

$$Q_{G,ON} = 10 \dots 1000 \mu\text{C}$$

$$= \int I_G dt$$

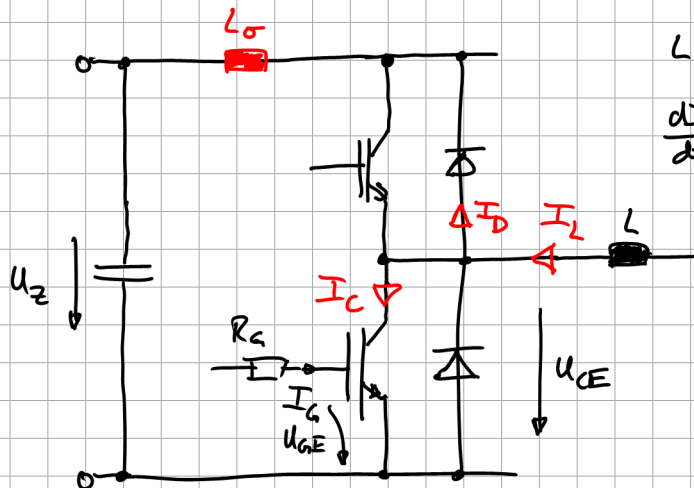
$$\Rightarrow I_G = \frac{dQ_{G,ON}}{dt} = \frac{Q_{G,ON}}{T_E}$$

$$\text{Bsp.: } Q_{G,0u} = 1000 \mu\text{C} \quad T_E = 0,5 \mu\text{s}$$

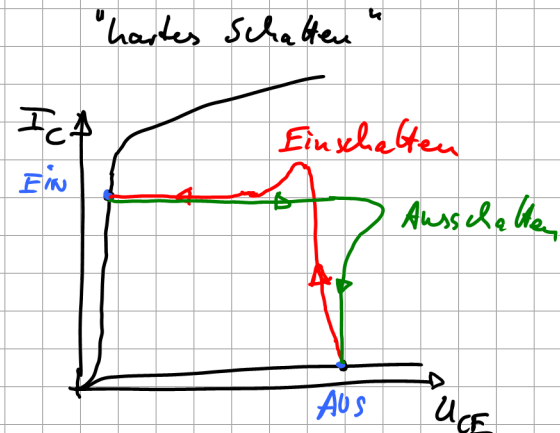
$$\Rightarrow I_G = \frac{1000 \mu\text{C}}{0,5 \mu\text{s}} = \underline{\underline{2 \text{ A}}}$$

Schalten eines IGBT (MOSFET) in einer Halbbrücke

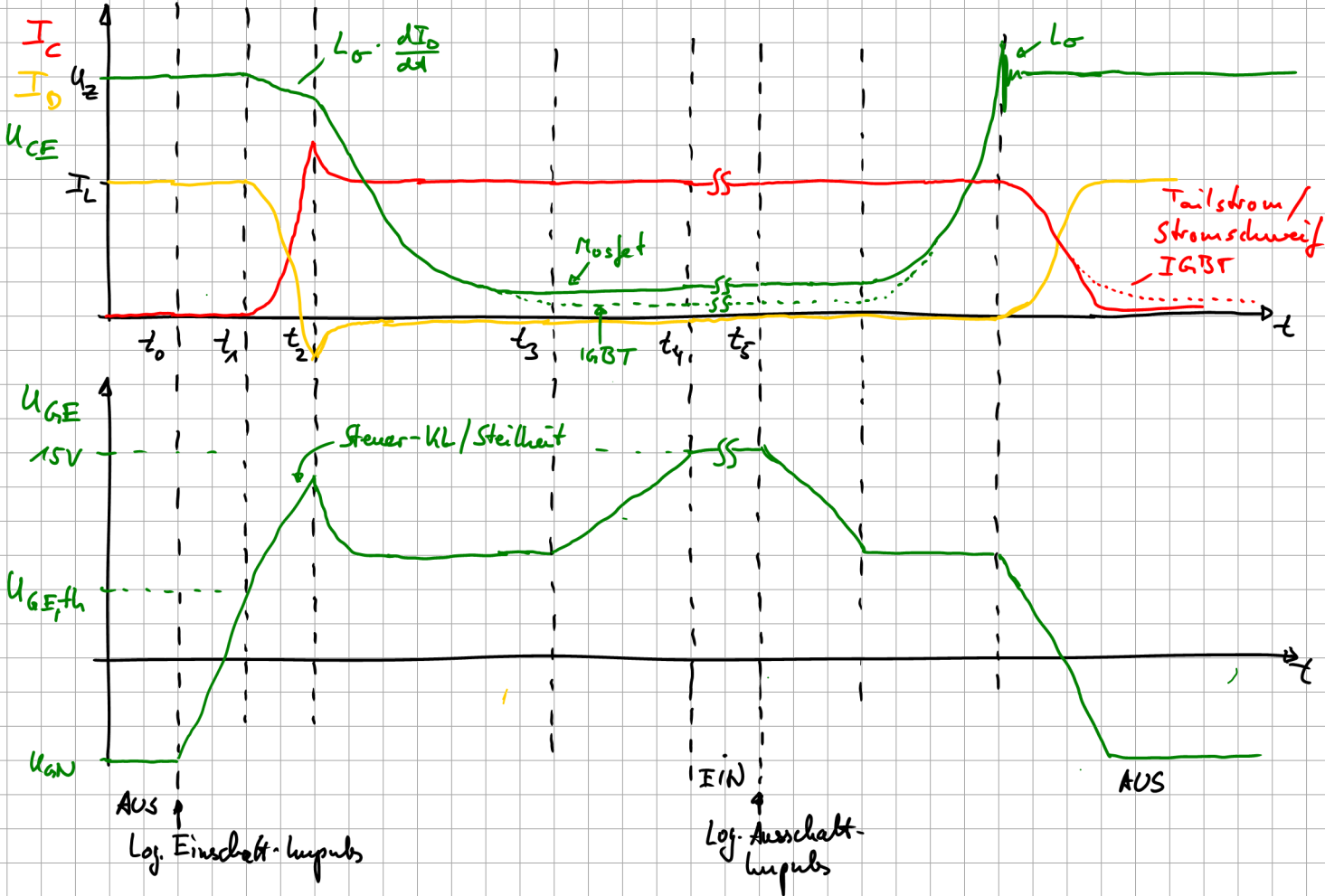
mit (ohmisch-)/induktiver Last,



$$L \text{ groß} \quad \frac{dI_L}{dt} \approx 0$$



Zeitverläufe



- Ausgangssituation: - vor t_0 sind beide IGBTs AUS (Vernierungszeit).
- Der in die Halbböschung hineinfließende Laststrom I_L fließt in der oberen Freilaufdiode

t_0 : Einschalten (log. Impuls)

- IGBT noch gesperrt
- Einschalten des Gate-Treibers:

→ I_G beginnt zu fließen → ausschließlich C_{GE} wird geladen
 $\Rightarrow U_{GE}$ steigt mit Zeitkonstante, bestimmt durch R_G und C_{GE} an

- Da $U_{GE} < U_{GE,th}$ ⇒ noch kein Kollektorstrom I_C

t_1 : Kollektorstromauftreten

- $U_{GE} \geq U_{GE,th} \Rightarrow I_C$ steigt an
- U_{GE} steigt ebenfalls an, da I_C und U_{GE} noch über die Steilheit gfs miteinander gekoppelt sind: $I_C = g_{fs} \cdot U_{GE}$ (Steuerkurve S.67)

Dies gilt, solange der IGBT/MOSFET im linearen Bereich betrieben wird, 73

- in diesem Abschnitt Kommunikationsvorgang:
 I_L kommuniziert von der oberen Diode auf den IGBT / MOSFET
- Spannungsabfall von U_{CE} nur durch $L_O \cdot \frac{dI_D}{dt}$
 Da die Diode noch nicht sperrt, ist der Kollktor des IGBT noch an den Zwickelkreis angeschlossen.
 Die Kollektor-Emitter-Spannung ist: $U_{CE} = U_Z - L_O \cdot \frac{dI_D}{dt}$
- In diesem Intervall grösster Teil der Einschaltverluste

t_2 : Plateau-Phase

- Durchschaltender IGBT im linearen Bereich
- Diode schaltet ab $\Rightarrow U_{CE}$ sinkt bis t_3 nahezu auf $U_{CE,sat}$ ab
- I_C und U_{CE} weiterhin über Steilheit verkoppelt (Tr. noch im lin. Bereich)
 $\rightarrow U_{CE}$ bleibt konstant
- I_G ladt C_{GD} um (während U_{CE} fällt)

- Wegen Abschaltverhalten der Freilaufdiode steigt I_C auf $I_L + I_{RRM}$ an und führt die Sperrverzögerungsladung Q_{RR} ab

t_3 : Sättigungsbereich

- Arbeitspunkt ist durch den linearen Bereich an den Beginn des Sättigungsbereichs gelangt
 $\Rightarrow U_{GE}$ und I_C sind nicht mehr über ggf verkoppelt
- I_G bewirkt weiteren Anstieg von U_{GE} bis zur Höhe der Gatetreiber-Versorgungsspannung (z.B. 15V)
- IGBT:

U_{CE} hat direkt bei t_3 noch nicht $U_{CE,SAT}$ erreicht

\rightarrow stellt sich innerhalb einiger 100ns... wenige μ s mit einsetzen der Minoritätsladungsträgerüberführung ein

→ "dynamische Sättigungsphase"

≈ Zeit, um die n -Driftzone mit Minoritätsladungsträgern zu überschwemmen

- MOSFET:

U_{CE} sinkt nicht mehr weiter (unipolare Bauteil!)

t_S : Ausschalten

- Prozesse in umgekehrter Reihenfolge
- Ladung Q_G muss mittels Steustrom I_G aus dem Gate abgeführt werden
- Zunächst: interne Kapazitäten entladen, damit der Kanal abschwindet
⇒ I_C fällt zunächst steil ab
- Nachdem der Emitterstrom $I_E = 0$ ist
→ noch viele p-Ladungsträger im n -Driftgebiet, welche durch Rekombination / Rückinjektion abgebaut werden müssen
⇒ Kollektorstromschwanz ("Tailstrom")

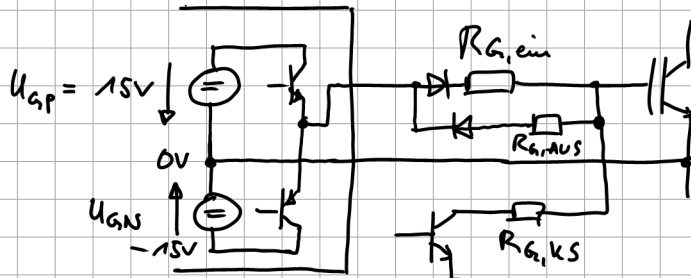
→ dauert einige μ s, gleichzeitig liegt schon die wiederangestiegene Spannung U_{CE} an

⇒ Tailsstrom bestimmt wesentlich die Ausschaltverluste

- Überschwingen von U_{CE} über U_Z :
 - L_o im Kondensatorkreis
 - abhängig von $\frac{dI_C}{dt} \Rightarrow$ langsamer Abschalten
 \Rightarrow weniger Überschwingen

Gate-Widerstand

- Dämpfung: Sp. Quelle im Gate-Treiber + L_{Gz} + C_{iss}
- R_G bestimmt den Gatestrom



	R_G klein	R_G groß
I_a	groß	klein
$\frac{di}{dt}, \frac{di}{dt}$	groß	klein
Schaltverluste	klein	groß
Rückstrangspritze, I_{Gmet} Überspannungen, EMV Schwingungen	groß	klein

EIN: $I_a = \frac{U_{GP} - U_{GE}}{R_{G,ein}}$

AUS: $I_a = \frac{U_{GN} - U_{GE}}{R_{G,aus}}$

- Unterschiedliche R_G beim AUS- und Einschalten über Dioden
- $R_{G,KS}$ zum Abschalten bei Brückeneinschaltung
 $\rightarrow R_{G,KS}$ eher groß, damit US-Abschaltung langsam abläuft, da i_c eh schon sehr groß
 \rightarrow $\frac{di}{dt}$ darf nicht zu groß sein

2. Gate-Treiber für SSR

- Vornehmste Funktion: Verstärkung des Aussteuersignals
z.B. Datenblattangaben: gA_{peak} , $C_{load} = 2000 \text{ nF}$
- Eingangspegel (z.B. 5V, 3,3V, optisch)

2.1. Schutzfunktionen

- a) Schutz gegen Überstrom / Brücken-Kurzschluss

in Gate-Treiber funktional integriert (eigene Logik-HW)

↳ Geschwindigkeit! (Sicherungen sind zu träge)

Kurzschlussdetection:

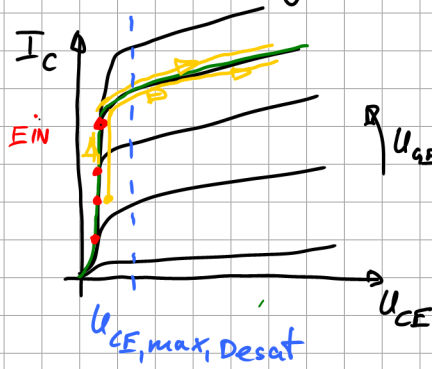
- kleine Leistungen: Shunt im Emitter-Source-Kreis

↳ Nachteil: Verluste

$$\frac{I}{R_{sh}}$$

- $\frac{di}{dt}$ -Messung (mit par. Induktivität $\Rightarrow u_{L\text{par}} = L_{\text{par}} \cdot \frac{di}{dt}$)
 ↳ Sonderfälle
- U_{CE} -Monitoring (quasi Standard)

Desat-Schaltung (Desaturation $\hat{=}$ Entsatigung)



„aktuelle KL, aufgrund U_{CE}

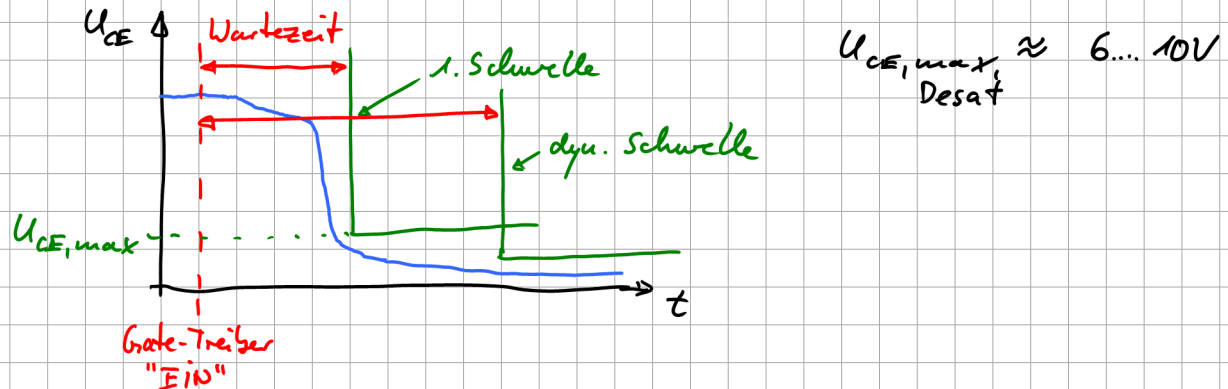
„Kurzschluss, d.h. I_C steigt“

↳ irgendwann wird I_C so groß, dass aufgrund des Verlustes auch U_{CE} ansteigt.

Kurzschluss = ($E\text{IN}$) & ($U_{CE} > U_{CE,\text{max}}$)

⊕ einfach

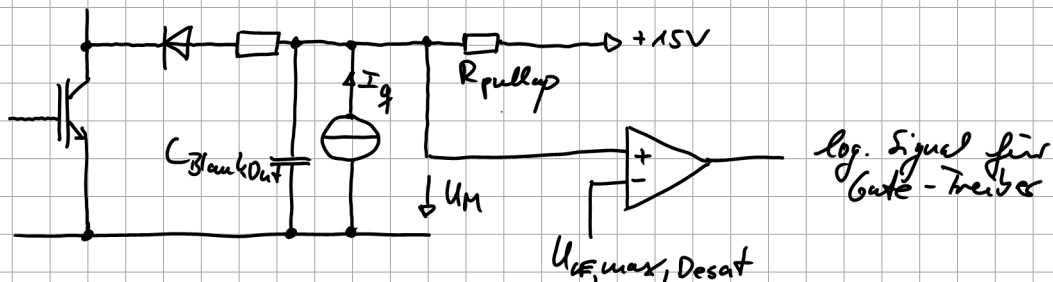
⊕ passt für jeden IGBT



$U_{CE,max} \approx 6 \dots 10V$
Desat

Schaltung zur U_{CE} -Messung:

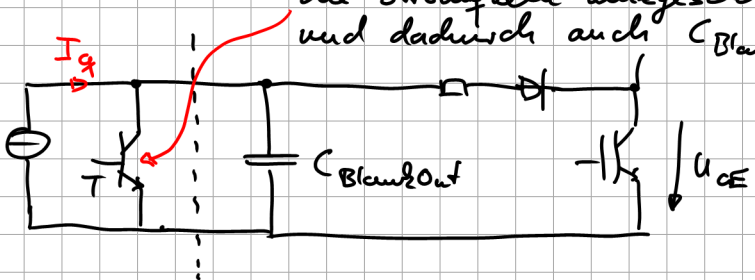
"abschaltbarer Spannungsteiler"



$C_{BlankOut}$: Zeitverzögerung / dyn. Schwelle

1. $U_{CE} > 15V$: Desat-Diode sperrt / Gate-Treiber ist "AUS"

Desat-Logik ist deaktiviert. Intern im Gate-Treiber wird mit T die Strongquelle kurzgeschlossen, und dadurch auch $C_{BlankOut}$ entladen



2. Gate-Treiber "EIN"

→ T wird ausgeschaltet, I_g fließt aus Gate-Treiber raus und lädt $C_{BlankOut}$

→ U_M steigt linear an: $U_M = \frac{1}{C_{BlankOut}} \cdot \int I_g dt$

Dadurch wird die Verzögerung eingestellt.

→ Sobald $U_M > U_{CE}$ → Desat-Diode leitet und damit ist

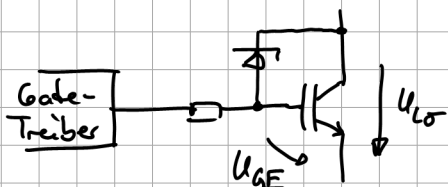
$$U_M = U_{CE} + U_{Diode} + U_R \approx U_{CE}$$

b) Schutz gegen schnelle Überspannungen

- hohes dI/dt beim Abschalten $\Rightarrow U_{Lo} = L_o \cdot \frac{dI}{dt}$

Schutzelemente:

1. Active Clamping



- schaltet IGBT wieder ein, falls

$$U_{CE} > U_{CE,max} = U_z - U_{GE}$$

- $W_o = \frac{1}{2} L_o I_c^2$ wird im IGBT in Wärme umgesetzt

\Rightarrow Zusätzliche Verluste \Rightarrow erhöhte Temp. \Rightarrow geringere Lebensdauer
 T. \Rightarrow erhöhter Klußanfall

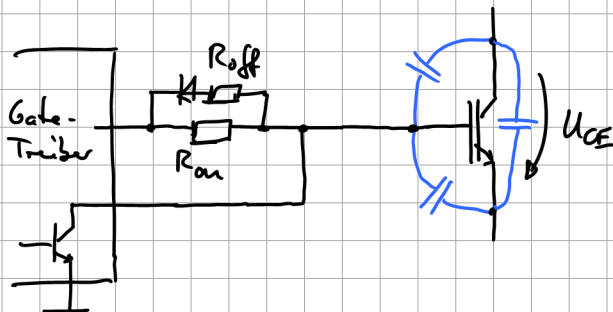
2. "Inelli-Off" (semikron) / "Soft-Off"

Optimierter Ausschaltvorgang



Sobald U_{CE} zu groß wird,
 wird I_G reduziert
 \rightarrow langsame Gate-Einfächerung
 \rightarrow geringes $\frac{dI_c}{dt}$
 \Rightarrow geringes U_{Lo}

c) Schutz vor Wiedereinschalten



- hohe $\frac{dU_{GE}}{dt}$
- \Rightarrow Verschiebesstrom in C_{GC}, C_{GE}
- $\Rightarrow U_{GE}$ steigt an
- \Rightarrow Wiedereinschalten möglich

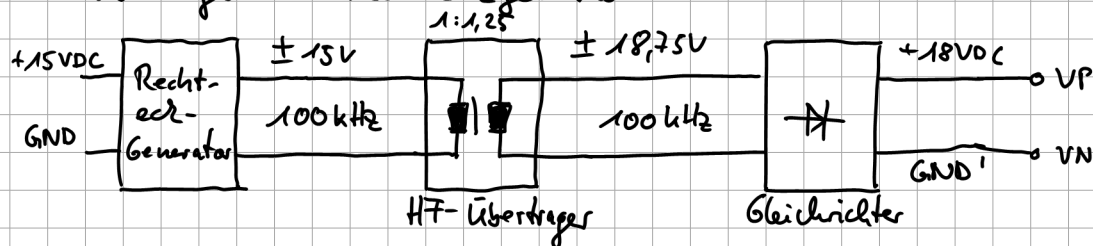
Ablösfe:

- $R_{off} \rightarrow$ schnelleres Abschalten \Rightarrow höheres dU/dt
- Zus. GE - Kapazität $\rightarrow U_{GE}$ steigt bei Vorsch.-Strom langsam an
 \rightarrow Nachteil: höhere Steuerleistung
- Negative Gate-Spannung
- Transistor zwischen G und E "EN" schalten
 \hookrightarrow "Active Miller Clamp"

2.2. Versorgung der High-Side - Gate-Treiber

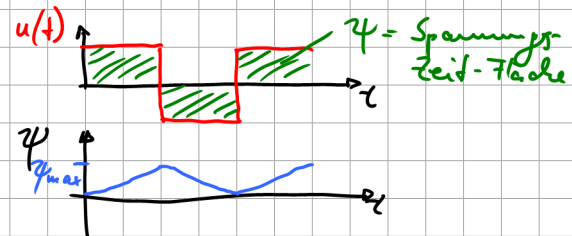
→ Potentialfreie Versorgung notwendig

- HF-Umverter mit Rechteckgenerator



- HF, damit Übertrager klein wird

$$\hat{B} = \frac{\hat{\Phi}}{A} \quad \psi = w \cdot \phi = w \cdot A \cdot \hat{B} = \int u dt$$

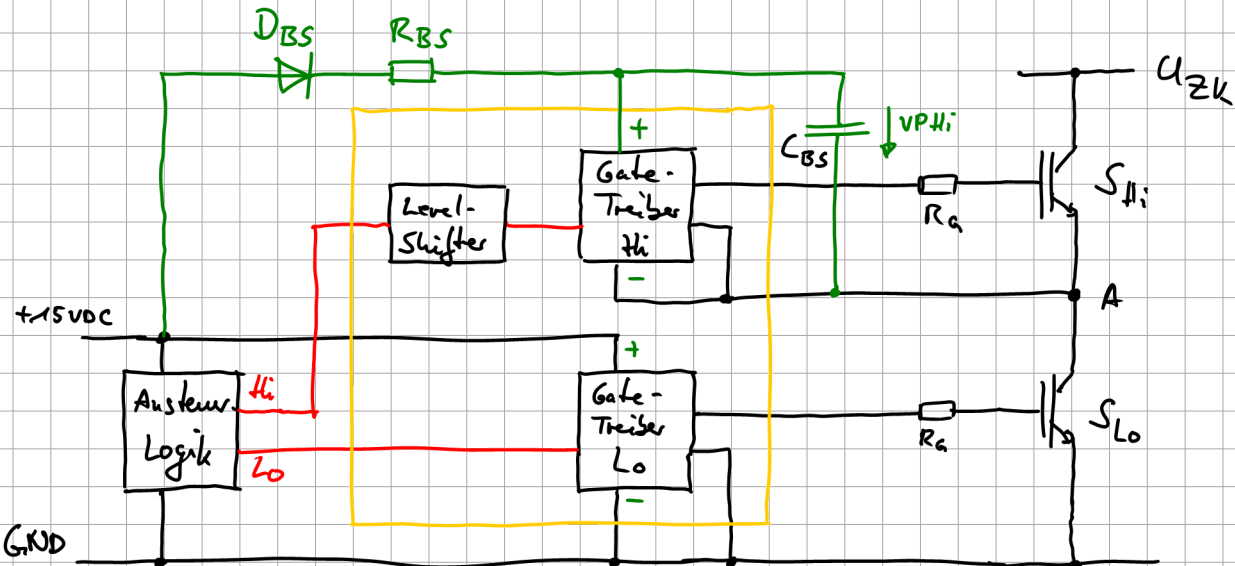


④ exakte Potentialtrennung

④ beliebige Aussteuergrafe von 0...100% auch dauerhaft möglich

⑤ Aufwändig

• Bootstrap-Schaltung



- C_{BS} = Bootstrap-Kondensator
- Wenn S_{Lo} eingeschaltet ist, wird C_{BS} über D_{BS} und R_{BS} auf $+15VDC$ aufgeladen, weil der Knoten A dann mit GND verbunden ist
- D_{BS} muss die Zwischenkreisspannung U_{ZK} sperren können

→ "halb potential getrennt" Gode-Treiber

→ "HU-Gatesteiger" HV = Hochvolt

⊕ billig, robust

(- SLO muss regelmäßig eingeschult werden

\Rightarrow Einschränkung des möglichen Ausseneingeschäfts:

üblich: 5% für BS-Schaltung

$$\Rightarrow a = 0..35\%$$

• Lösungsschritte

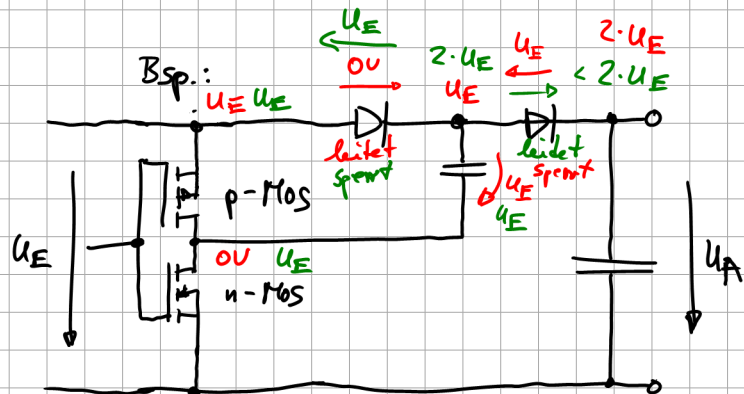
- Lücken im GT-ICs integriert

$$U_A = 2 \cdot U_F$$

→ Kaskadierbar

$$M = u \text{-MOS IN} \\ p \text{-MOS AUS}$$

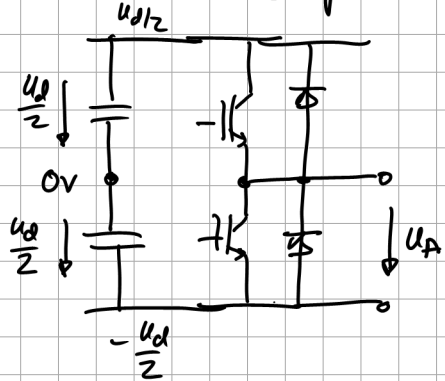
$$u_{\text{in}} = u\text{-MOS AUS} \\ p\text{-MOS IN}$$



3. Steuersatz für SSR

- Tastfrequenz ist bei SSR frei wählbar

→ Schaltzeitpunkte für Umschaltung:



$u_A(t)$ = diskret entweder
+ $u_d/2$ oder - $u_d/2$

U_A = Kurzzeitmittelwert
über 1 Taktperiode

- Um die Ausgangsspannungsform als Kurzzeitmittelwerte ohne Schwingung und große Oberschwingungsanteile ablesen zu können:

$$f_T \geq 10 \cdot f_1$$

Falls $f_T \leq 10 \cdot f_1$: Synchronisierte Taktung, d.h.

$$f_T = n \cdot f_1 \quad \text{mit } n \in \{1, 3, 5, 7, \dots\}$$

- Mittelwertbildung des Stromrichterausgangs
 - meist durch die Last ($\text{Maschine} = RL - \text{Last}$)
 - Filter (z.B. C beim Tiefpasssteller, Sinusfilter für Maschinen, Netzfilter, etc.)
- Begrenzung der Tastfrequenz:

$$10 \cdot f_T \leq f_T \leq$$

- Umschaltzeiten der HL
- Verriegelungszeit
- Schaltverluste? $P_{V,T} \sim f_T$
- Logik $\hat{=} \text{Gatterlaufzeiten, etc}$
(bei hohen Tastfrequenzen)

z.B. hartschaltend, 1kW, Si-IGBTs : $\approx 100 \text{ kHz}$

Weichschaltend : $\leq 2 \text{ MHz}$